

Современное состояние физики элементарных частиц

Лекции на Высшей школе физики Госкорпорации Росатом

Саров, 15-21 апреля 2013 года

М.И. Высоцкий

ИТЭФ им. А.И. Алиханова, Москва

План

Лекция 1. Введение: фундаментальные частицы, законы сохранения, ускорители, 4 взаимодействия, стандартная $SU(3)_c \times SU(2)_L \times U(1)$ модель.

Лекция 2. $U(1)$ – квантовая электродинамика (QED).

Лекция 3. $SU(3)_c$ – квантовая хромодинамика (QCD).

Лекция 4. $SU(2)_L \times U(1)$ – электрослабая теория.

Лекция 5. Нейтрино.

Лекция 6. За Стандартной Моделью.

Лекция 1

Введение: фундаментальные частицы, законы сохранения, ускорители, 4 взаимодействия, стандартная $SU(3)_c \times SU(2)_L \times U(1)$ модель.

Сейчас (весна 2013 года) удачное время для обзорных лекций по физике элементарных частиц. Предыдущий 2012 год называют годом открытий – на Большом Адронном Коллайдере ЦЕРНа (БАК, английское название Large Hadron Collider, ЛНС) был найден бозон Хиггса; также в ряде экспериментов был измерен один из углов смешивания нейтрино θ_{13} . Хотя смешивание нейтрино – заметная часть современной физики элементарных частиц, гораздо более важно открытие бозона Хиггса и измерение его массы. Подтверждена справедливость Стандартной Модели (СМ); следующий шаг – открытие Новой Физики. В начале 2013 года ЛНС встал на двухгодичный перерыв, после которого его энергия будет увеличена в полтора раза, что, быть может, приведет к открытию Новой Физики – то есть новых элементарных частиц за рамками СМ. Мы отложим до заключительной шестой лекции обсуждение этих ожиданий, а первые пять лекций будут посвящены изложению СМ, на сегодняшний день успешно описывающей **все** экспериментальные данные в области физики элементарных частиц.

Предметом изучения физики элементарных частиц являются свойства самых маленьких составляющих, из которых построены (“составлены”) все окружающие нас предметы. В выходящем каждые два года Обзоре Физики Частиц (Review of Particle Physics, RPP) описаны свойства нескольких сотен частиц, что занимает около полутора тысяч страниц текста, таблиц и рисунков в последнем издании 2012 года. Большинство из этих частиц не являются элементарными – они состоят из более элементарных, или фундаментальных, частиц. Поэтому удобно ввести понятие фундаментальные частицы, из которых действительно всё составлено. Фундаментальных частиц заметно меньше, чем элементарных, и их свойства также описаны в RPP.

Таблица 1

s	0	1/2	1	2
		$\nu_1 e$ ud	γ	
	H	$\nu_2 \mu$ cs	g	h
		$\nu_3 \tau$ tb	W^\pm, Z	

Все фундаментальные частицы перечислены в Таблице 1. Каждая фундаментальная частица характеризуется своей массой, временем жизни, спином и взаимодействиями, в которых она участвует. Единственная известная сегодня фундаментальная частица со спином ноль – это бозон Хиггса, о котором уже говорилось. Массы всех фундаментальных частиц появляются за счет механизма Хиггса, в рамках которого и возникает эта частица со спином ноль. Более подробное обсуждение механизма Хиггса будет дано в четвертой лекции, посвященной электрослабым взаимодействиям.

Фундаментальные частицы со спином 1/2 бывают двух типов: лептоны и кварки. Они объединяются в три кварк-лептонные семейства. Лептоны первого семейства: нейтрино ν_1 и электрон e . Кварки первого семейства: u (up, верхний) и d (down, нижний). Второе семейство: нейтрино ν_2 и мюон μ и кварки c (charm, очарованный) и s (strange, странный). Третье семейство: нейтрино ν_3 и тау-лептон τ и кварки t (top) и b (bottom).

Спин один имеет фотон (γ), глюоны (g) и промежуточные бозоны слабых взаимодействий W^\pm и Z . Здесь надо оговорить, что глюоны являются переносчиками сильных взаимодействий, и их имеется восемь штук аналогично тому, как каждый кварк может быть в одном из трех цветовых состояний. Обмены глюонами связывают кварки в адроны (сильно взаимодействующие частицы, в отличие от лептонов, которые обладают только электромагнитными и слабыми взаимодействиями). Большинство частиц, свойства которых описаны в РРР, как раз и являются адронами, смотри посвященную сильным взаимодействиям третью лекцию.

Наконец, имеется одна фундаментальная частица со спином 2, гравитон h , обмен которой приводит к гравитационному притяжению. Универсальность гравитации обусловлена взаимодействием гравитона с тензором энергии-импульса элементарных частиц (а значит и с тензором энергии-импульса состоящих из них макроскопических тел).

Мы перечислили все фундаментальные частицы и переходим к обсуждению их масс. Фотон и гравитон безмассовы. Это следует из дальнего действия гравитации и формы кулоновского потенциала. В обоих случаях потенциал падает с расстоянием как $1/r$. Если бы обмен осуществлялся массивной частицей с массой μ , то взаимодействие с расстоянием убывало бы гораздо быстрее, как $e^{-\mu r}/r$ (потенциал Юкавы). Глюоны также безмассовы, хотя сильные взаимодействия характеризуются конечным радиусом порядка одного ферми ($1 \text{ fm} \equiv 10^{-13} \text{ см}$), что связано с обсуждаемым в третьей лекции явлением конфайнмента, или невылетания цвета.

Все остальные фундаментальные частицы массивны. Перед тем, как обсуждать величины их масс, следует сделать отступление о размерностях, используемых в физике элементарных частиц. Удобной является система единиц, в которой скорость света c и постоянная Планка \hbar равны единице. Это значительно упрощает вид формул, в которых остается одна размерная величина – масса, или энергия. Релятивистский закон дисперсии для свободной частицы $E^2 = m^2 c^4 + p^2 c^2$ превращается в $E^2 = m^2 + p^2$; энергия покоящейся частицы равна ее массе. Это дает возможность измерять массу частицы в единицах энергии. Удобной единицей энергии является электронвольт, сокращенно эВ, или eV в английской транскрипции. Соответствие с принятыми в макроскопической физике единицами следующее:

$$1 \text{ эВ} \approx 1.6 \cdot 10^{-12} \text{ эрг (СГСЭ)} = 1.6 \cdot 10^{-19} \text{ Дж (СИ)} . \quad (1.1)$$

Используются следующие сокращения: $10^3 \text{ эВ} \equiv 1 \text{ кэВ}$; $10^6 \text{ эВ} \equiv 1 \text{ МэВ}$, $10^9 \text{ эВ} \equiv 1 \text{ ГэВ}$, $10^{12} \text{ эВ} \equiv 1 \text{ ТэВ}$. Масса электрона равна примерно 0.5 МэВ , поэтому при двухквантовой аннигиляции находящихся в покое электрона и позитрона $e^+e^- \rightarrow 2\gamma$ энергия каждого фотона равна $0.5 \text{ МэВ} \equiv 500 \text{ кэВ}$. Масса протона $m_p = 938 \text{ МэВ} \approx 1 \text{ ГэВ} \equiv 10^9 \text{ эВ}$ выражается в граммах следующим образом:

$$m_p = \frac{E_0}{c^2} = \frac{10^9 \cdot 1.6 \cdot 10^{-12} \text{ эрг}}{(3 \cdot 10^{10} \text{ см/сек})^2} = \frac{\text{грамм}}{6 \cdot 10^{23}} , \quad (1.2)$$

в полном соответствии с известным значением числа Авогадро. Постоянная Планка $\hbar \equiv h/2\pi \approx 10^{-27} \text{ эрг}\cdot\text{сек}$; значение произведения $\hbar c \approx 3 \cdot 10^{-17} \text{ эрг}\cdot\text{см} \approx 2 \cdot 10^{-5} \text{ эВ}\cdot\text{см}$ позволяет легко переводить значения энергии (или массы) в величины обратной длины и наоборот. Скажем, комптоновская длина волны протона $l_p \equiv 1/m_p \approx 2 \cdot 10^{-14} \text{ ГэВ}\cdot\text{см}/1 \text{ ГэВ} = 0.2 \text{ fm}$

по порядку величины совпадает с радиусом сильных взаимодействий, а характерная величина сильного сечения $\sigma_{pp} \sim l_p^2 = 40 \cdot 10^{-27} \text{ см}^2 \equiv 40 \text{ mb}$, где 1 барн $\equiv 10^{-24} \text{ см}^2$ – часто используемая в физике элементарных частиц единица сечения, mb означает миллибарн или 10^{-3} барна.

Отвечающее массе протона время $\tau_p \sim 2 \cdot 10^{-14} \text{ см}/c \approx 0.7 \cdot 10^{-24} \text{ сек}$ характеризует время жизни частиц, распадающихся за счет сильного взаимодействия (ρ -мезон, ω -мезон и т.д.).

Постоянная тонкой структуры α – чрезвычайно важная величина, определяющая интенсивность (или силу) электромагнитных взаимодействий. Из записанного в системе СГСЭ закона Кулона, $F = e^2/r^2$, находим размерность квадрата заряда: $[e^2] = \text{эрг} \cdot \text{см}$. Подставляя в качестве e заряд электрона, для безразмерной константы α получим:

$$\alpha \equiv \frac{e^2}{\hbar c} = \frac{[4.8 \cdot 10^{-10} \text{ esu}]^2}{3 \cdot 10^{-17} \text{ эрг} \cdot \text{см}} \approx \frac{1}{137} . \quad (1.3)$$

Название “постоянная тонкой структуры” связано с тем, что эта величина определяет тонкую структуру атомных спектров.

Приведем значения масс фундаментальных частиц. Начнем с заряженных лептонов:

$$m_e \approx 0.511 \text{ МэВ} , \quad m_\mu \approx 105.7 \text{ МэВ} , \quad m_\tau \approx 1.78 \text{ ГэВ} . \quad (1.4)$$

Массы нейтрино не измерены; измерены разности квадратов масс нейтрино, оказавшиеся много меньше $(1 \text{ эВ})^2$, и имеется экспериментальное ограничение на массу электронного нейтрино, которая не может превышать двух электронвольт. Поэтому можно утверждать, что массы нейтрино находятся в следующем интервале:

$$0 \text{ эВ} \leq m_{\nu_1}, m_{\nu_2}, m_{\nu_3} \leq 2 \text{ эВ} . \quad (1.5)$$

Космология позволяет в несколько раз уменьшить верхнее ограничение на массу нейтрино.

Что касается кварков, то их массы не могут быть измерены непосредственно; из-за конфайнмента свободных кварков не существует. Способы определения масс кварков изложены в третьей лекции. Результаты таковы:

$$\begin{aligned} m_u &\approx 2 \div 3 \text{ МэВ} , & m_d &\approx 5 \text{ МэВ} , & m_s &\approx 100 \text{ МэВ} \\ m_c &\approx 1.3 \text{ ГэВ} , & m_b &\approx 4.5 \text{ ГэВ} , & m_t &= 174 \pm 1 \text{ ГэВ} . \end{aligned} \quad (1.6)$$

Наконец, приведем массы промежуточных векторных бозонов и бозона Хиггса:

$$M_{W^\pm} = 80.385 \pm 0.015 \text{ ГэВ} , \quad M_Z = 91.188 \pm 0.002 \text{ ГэВ} , \quad M_H = 126 \pm 1 \text{ ГэВ} . \quad (1.7)$$

Стандартная Модель была сформулирована в конце 60-х – начале 70-х годов и всесторонне исследуется уже около сорока лет; свое окончательное экспериментальное подтверждение она получила с открытием в 2012 году бозона Хиггса.

Большинство фундаментальных частиц нестабильны: они распадаются на более легкие частицы, если эти распады не запрещены законами сохранения. При этом масса частицы оказывается комплексной: $M = M_0 - i\Gamma/2$, где Γ – ширина (обратное время жизни) частицы.

Безмассовые частицы (γ , g , h) стабильны – их распады запрещены кинематически. Также стабильно наиболее легкое нейтрино – его спин равен $1/2$, и оно не может распадаться на безмассовые бозоны. Более тяжелые нейтрино могут распадаться на легкие с испусканием фотона: $\nu_i \rightarrow \nu_j \gamma$, однако вероятность таких распадов исключительно мала, время жизни нейтрино гораздо больше времени существования Вселенной, поэтому нейтрино могут считаться стабильными частицами.

Кинематически разрешен распад электрона на нейтрино и фотон, либо на три нейтрино. Эти распады запрещены законом сохранения электрического заряда: будучи легчайшей заряженной частицей, электрон стабилен. Более тяжелые заряженные лептоны распадаются: мюон по каналу $\mu \rightarrow e \nu \bar{\nu}$, у τ -лептона есть много каналов распада. Среди составленных из кварков сильно взаимодействующих частиц (адронов) стабильным является только протон, распады которого запрещены сохранением барионного числа.

Из рассматриваемых в RPP элементарных частиц очень немногие встречаются в природе (фотоны, электроны, протоны, входящие в состав ядер нейтроны, а также нейтрино, детектировать которые очень трудно). Остальные создаются в лабораториях на ускорителях, либо рождаются при взаимодействии космических лучей с атмосферой земли. В Большом Адронном Коллайдере протоны ускорились в 2012 году до энергии 4 ТэВ, при этом суммарная энергия сталкивающихся протонов в системе центра масс равнялась 8 ТэВ. После двухлетнего перерыва в 2015 году энергия протонов повысится до 7.5 ТэВ в каждом пучке. Найдем, чему такая суммарная энергия (а именно она определяет максимальную

массу рождаемых частиц) отвечает в случае ускорителя с фиксированной мишенью:

$$(p_1 + p_2)^2 = 4E_{\text{Ц.М.}}^2 = 2m_p^2 + 2m_p E_{\text{Л.С.}} \quad , \quad (1.8)$$

и, пренебрегая массой протона, найдем:

$$E_{\text{Л.С.}} = 2E_{\text{Ц.М.}} \cdot \frac{E_{\text{Ц.М.}}}{m_p} \approx 10^5 \text{ ТэВ} \equiv 10^{17} \text{ эВ} \quad . \quad (1.9)$$

Преимущество коллайдеров (ускорителей со встречными пучками) для рождения наиболее тяжелых частиц очевидно: ускорить протоны до энергии 10^5 ТэВ удастся не скоро. Именно поэтому наиболее тяжелые фундаментальные частицы (W^\pm , Z , t и, наконец, H) были открыты в экспериментах на коллайдерах.

Закончим эту вводную лекцию обсуждением четырех типов взаимодействий, в которых участвуют элементарные частицы.

Электромагнитные взаимодействия держат электроны в атомах; они же ответственны за излучение фотона при переходах электронов в атомах, скажем $2p \rightarrow 1s \gamma$. Взаимодействие фундаментальных частиц с фотоном диагонально: испуская фотон, заряженная частица остается собой. Для электрона амплитуда излучения фотона пропорциональна $e(\bar{e}\gamma_\mu e)A_\mu$, где e – заряд электрона, и в системе единиц $\hbar = c = 1$ имеем $e^2 = \alpha$.

Квантовая электродинамика основана на локальной абелевой $U(1)$ симметрии, и более подробно мы поговорим о ней во второй лекции.

Сильные взаимодействия удерживают нейтроны и протоны в ядрах. На языке фундаментальных частиц сильное взаимодействие описывается локальной $SU(3)$ калибровочной теорией: кварки испускают глюоны, меняя свой цвет. Мы рассмотрим сильное взаимодействие в третьей лекции.

Слабые взаимодействия ответственны за распады частиц: $n \rightarrow pe^- \bar{\nu}_e$, $\mu \rightarrow e\nu_\mu \bar{\nu}_e$, $\tau \rightarrow \mu\nu_\tau \bar{\nu}_\mu$ и т.д. Наряду с недиагональными процессами, обусловленными излучением виртуального W -бозона, имеются и диагональные слабые процессы, вызванные излучением нейтрального Z -бозона. Основанная на локальной симметрии $SU(2)_L \times U(1)$ электрослабая теория (объединяющая электромагнитные и слабые взаимодействия) рассматривается в четвертой лекции.

Наконец, играющая такую большую роль для макроскопических объектов гравитация настолько слаба, что за исключением редчайших случаев в физике элементарных частиц никакой роли не играет.

Квантовая теория поля – это математический аппарат, необходимый как для чтения и написания теоретических работ по физике элементарных частиц, так и для понимания этой области физики. Наши лекции – облегченный обзор предмета; если читатель захочет разобраться в нем подробнее, то начинать следует с изучения квантовой теории поля по одной из следующих монографий: Ахиезер, Берестецкий, “Квантовая электродинамика”; Берестецкий, Лифшиц, Питаевский, “Квантовая электродинамика”, 4-й том курса Ландау и Лифшица; Боголюбов, Ширков, “Введение в теорию квантованных полей”; Бьёркен, Дрелл, “Релятивистская квантовая теория”; Пескин, Шредер, “Введение в квантовую теорию поля”.

В последующих лекциях будет более подробно излагаться Стандартная Модель физики элементарных частиц, основанная на локальной калибровочной $SU(3)_c \times SU(2)_L \times U(1)$ теории.

Лекция 2

U(1) – квантовая электродинамика (QED)

Начнем изложение с теории вещественного скалярного поля. Это теория нейтральных частиц со спином ноль и, в частности, бозона Хиггса. Свободно распространяющаяся плоская волна описывается следующей формулой:

$$\varphi(x, t) = e^{-ip_\mu x_\mu} = e^{-iEt + i\vec{p}\vec{x}} , \quad (2.1)$$

и отвечает свободной частице с четырехимпульсом $p_\mu = (E, \vec{p})$. Она является решением уравнения Клейна–Гордона:

$$(\square + m^2)\varphi(x, t) = 0 , \quad (2.2)$$

где оператор Д’Аламбера $\square \equiv \partial_\mu^2 \equiv -(p_\mu)^2$, $p_\mu = i\partial_\mu = (i\frac{\partial}{\partial t}, -i\frac{\partial}{\partial \vec{x}})$, и одним и тем же символом p_μ обозначен как оператор 4-импульса, так и его собственное значение.

Уравнение Клейна–Гордона следует из принципа наименьшего действия $S = \int \mathcal{L} d^4x$ с плотностью лагранжиана

$$\mathcal{L} = \frac{1}{2}(\partial_\mu \varphi)^2 - \frac{1}{2}m^2 \varphi^2 , \quad (2.3)$$

уравнение Эйлера–Лагранжа для которой

$$\frac{\delta \mathcal{L}}{\delta \varphi} = \frac{\partial}{\partial x_\mu} \frac{\delta \mathcal{L}}{\delta \partial_\mu \varphi} , \quad \partial_\mu \varphi \equiv \frac{\partial \varphi}{\partial x_\mu} \quad (2.4)$$

совпадает с (2.2). В дальнейшем для краткости плотность лагранжиана будем называть лагранжианом. В инвариантной относительно преобразований Лоренца теории лагранжиан Лоренц-инвариантен.

Лагранжиан свободного комплексного скалярного поля имеет следующий вид:

$$\mathcal{L} = |\partial_\mu \Phi|^2 - m^2 \Phi^+ \Phi = \partial_\mu \Phi^+ \partial_\mu \Phi - m^2 \Phi^+ \Phi , \quad (2.5)$$

уравнение движения совпадает с (2.2) с заменой $\varphi(x, t)$ на $\Phi(x, t)$. Комплексное поле описывает заряженные частицы. Взаимодействие с электромагнитным полем вводится путем “удлинения” производной:

$$p_\mu \rightarrow p_\mu - eA_\mu , \quad i\partial_\mu \rightarrow i\partial_\mu - eA_\mu , \quad (2.6)$$

$$\mathcal{L} = |(\partial_\mu + ieA_\mu)\Phi|^2 - m^2\Phi^+\Phi - \frac{1}{4}F_{\mu\nu}^2, \quad (2.7)$$

и в (2.7) мы добавили лагранжиан электромагнитного поля ($F_{\mu\nu} \equiv \partial_\mu A_\nu - \partial_\nu A_\mu$). Построенный таким образом лагранжиан инвариантен относительно локальных (калибровочных) $U(1)$ -преобразований:

$$\Phi = e^{i\lambda}\Phi', \quad A_\mu = A'_\mu - \frac{1}{e}\partial_\mu\lambda, \quad (2.8)$$

где λ зависит от координаты x_μ (если λ одинаково во всем пространстве и не зависит от времени, то преобразование называется глобальным; относительно таких преобразований инвариантен лагранжиан (2.5) – введения поля A_μ для глобальной симметрии не требуется). Записанный через поля A'_μ и Φ' лагранжиан (2.7) имеет тот же вид, что и записанный в терминах полей A_μ и Φ .

Перепишем (2.7) в следующем виде:

$$\mathcal{L} = |\partial_\mu\Phi|^2 - m^2\Phi^+\Phi - \frac{1}{4}F_{\mu\nu}^2 - eA_\mu[\Phi^+i(\partial_\mu\Phi) - i(\partial_\mu\Phi^+)\Phi] + e^2A_\mu^2\Phi^+\Phi. \quad (2.9)$$

Здесь первые три члена описывают свободные поля A_μ и Φ , остальные члены описывают взаимодействие между ними. В качестве поля Φ можно рассмотреть π^+ -мезон: частицу со спином $s = 0$ и электрическим зарядом $+e$ (заряд электрона $-e$). Комптон-эффект на π^+ -мезоне (рассеяние фотона γ на π^+ -мезоне) описывается в низшем порядке теории возмущений (в порядке e^2 по константе связи) тремя диаграммами Фейнмана, показанными на рис. 2.1.

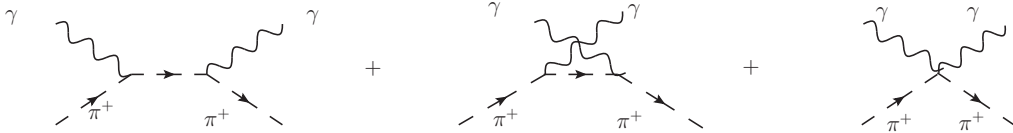


Рис. 2.1. Комптон-эффект на π -мезоне

Первые две диаграммы возникают во втором порядке теории возмущений по кубичному по полям члену в (2.9), третья диаграмма – в первом

порядке по четвертичному по полям последнему члену в (2.9). По диаграммам рис. 2.1 с помощью правил Фейнмана (или правил диаграммной техники) выписывается амплитуда вероятности реакции упругого рассеяния фотона на π^+ -мезоне, $\gamma\pi^+ \rightarrow \gamma\pi^+$. Эта же амплитуда описывает процесс рождения пары $\pi^+\pi^-$ в столкновении двух фотонов: $\gamma\gamma \rightarrow \pi^+\pi^-$ и двухквантовую аннигиляцию $\pi^+\pi^- \rightarrow \gamma\gamma$. Зная амплитуду, можно найти сечение процесса σ , которое по формуле $l = 1/(n\sigma)$ позволяет определить длину свободного пробега частицы в веществе. Пропорциональное вероятности процесса сечение квадратично по амплитуде. Однако для рассматриваемых реакций большее практическое значение имеет вычисление числа рождаемых $\pi^+\pi^-$ -пар на $\gamma\gamma$ -коллайдере согласно формуле $N = \sigma \cdot L$, где L – светимость коллайдера ($[N] = 1/\text{сек}$, $[\sigma] = \text{см}^2$, $[L] = 1/(\text{сек} \cdot \text{см}^2)$).

Перейдем к электромагнитному взаимодействию частиц со спином $1/2$ (заряженные лептоны и кварки Стандартной Модели). Соответствующее поле описывается биспинором ψ , являющимся решением уравнения Дирака:

$$(p_\mu \gamma_\mu - m)\psi = 0 \quad , \quad (2.10)$$

где $p_\mu \gamma_\mu \equiv \hat{p} = p_0 \gamma_0 - p_i \gamma_i$. Умножая (2.10) слева на $\hat{p} + m$ и требуя выполнения дисперсионного соотношения для свободной частицы $p^2 - m^2 = 0$, приходим к основному свойству матриц Дирака γ_μ : $\gamma_\mu \gamma_\nu + \gamma_\nu \gamma_\mu = 2g_{\mu\nu}$. Удовлетворяющие этому соотношению матрицы 4×4 в стандартном представлении имеют следующий вид:

$$\gamma_0 = \begin{pmatrix} 1 & 0 \\ 0 & -1 \end{pmatrix} \quad , \quad \gamma_i = \begin{pmatrix} 0 & \sigma_i \\ -\sigma_i & 0 \end{pmatrix} \quad . \quad (2.11)$$

Здесь σ_i – матрицы Паули:

$$\sigma_1 = \begin{pmatrix} 0 & 1 \\ 1 & 0 \end{pmatrix} \quad , \quad \sigma_2 = \begin{pmatrix} 0 & -i \\ i & 0 \end{pmatrix} \quad , \quad \sigma_3 = \begin{pmatrix} 1 & 0 \\ 0 & -1 \end{pmatrix} \quad . \quad (2.12)$$

Подставляя в уравнение (2.10) биспинор ψ в виде $\psi = \begin{pmatrix} \varphi \\ \chi \end{pmatrix}$, где φ и χ – двухкомпонентные спиноры, получим:

$$\begin{pmatrix} E - m & -\bar{p} \bar{\sigma} \\ \bar{p} \bar{\sigma} & -E - m \end{pmatrix} \begin{pmatrix} \varphi \\ \chi \end{pmatrix} = 0 \quad , \quad (2.13)$$

В нерелятивистском пределе $\bar{p} \rightarrow 0$ спинор χ обращается в ноль. Остается двухкомпонентный спинор φ , описывающий нерелятивистскую частицу со спином $1/2$.

Взаимодействие с электромагнитным полем вводится “удлинением” производной, заменяющим свободное уравнение Дирака (2.10) на

$$(\hat{p} - e\hat{A} - m)\psi = 0 \quad , \quad (2.14)$$

где $\hat{A} \equiv A_\mu \gamma_\mu$. В качестве упражнения полезно вывести из (2.14) в нерелятивистском пределе взаимодействие спина электрона с магнитным полем. Оно отвечает магнитному моменту электрона $\vec{\mu} = 2 \cdot (e/2m_e)\vec{s}$, или гиромагнитному отношению $g_e = 2$ (в древесном приближении), в то время как для орбитального движения магнитный момент равен $(e/2m_e)\vec{l}$ и гиромагнитное отношение равно единице.

Лагранжиан дираковского фермиона со спином $1/2$ и единичным электрическим зарядом, взаимодействующего с электромагнитным полем, имеет следующий вид:

$$\mathcal{L} = \bar{\psi}(\hat{p} - e\hat{A} - m)\psi - \frac{1}{4}F_{\mu\nu}^2 = \bar{\psi}(\hat{p} - m)\psi - \frac{1}{4}F_{\mu\nu}^2 - e\bar{\psi}\hat{A}\psi \quad . \quad (2.15)$$

Взаимодействие описывается членом $e\bar{\psi}\hat{A}\psi$; на рис. 2.2 приведены диаграммы, описывающие в первом неисчезающем приближении теории возмущений Комптон-эффект на электроны.

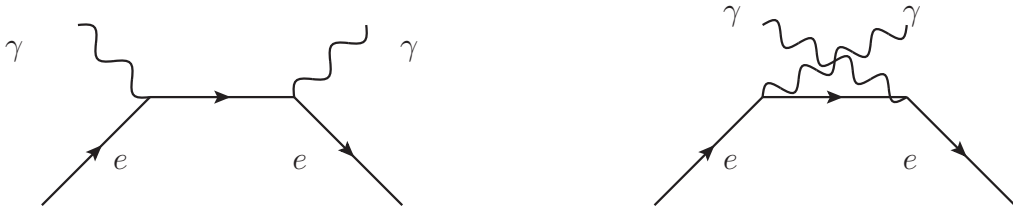


Рис. 2.2. Комптон-эффект на электроны

Другой важный в физике элементарных частиц процесс – рождение пары $\mu^+\mu^-$ в e^+e^- -аннигиляции – описывается приведенной на рис. 2.3

диаграммой. При инвариантной энергии $\sqrt{s} = \sqrt{(p_{e^+} + p_{e^-})^2} = 2E_{\text{Ц.М.}} \gg 2m_\mu$ сечение этого процесса дается следующей формулой:

$$\sigma = \frac{4\pi}{3} \frac{\alpha^2}{s} . \quad (2.16)$$

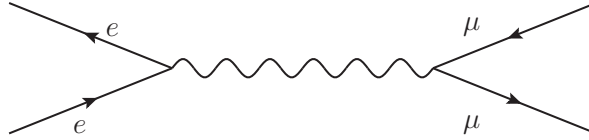


Рис. 2.3. Рождение пары $\mu^+\mu^-$ в e^+e^- -аннигиляции

Пропорциональность сечения $1/s$ следует из соображений размерности (в рассматриваемом случае высоких энергий можно пренебречь как массой электрона, так и массой мюона); пропорциональность $\alpha^2 = e^4$ следует из того факта, что в каждой вершине рис. 2.3 стоит заряд электрона e , а сечение пропорционально квадрату вычисляемой по этой диаграмме амплитуды. Поэтому аккуратное вычисление сечения необходимо только для нахождения численного множителя $4\pi/3$.

Как уже было сказано, в древесном приближении гиромагнитное отношение для спина электрона, следующее из уравнения Дирака, равно двум. Изображенные на рис. 2.4 петлевые поправки изменяют древесное значение. В одной петле поправка была вычислена Швингером на заре квантовой электродинамики. Она оказалась равной $\alpha/2\pi \approx 0.00116$. К настоящему времени вычислены все графики до четырех петель включительно, и сравнение с экспериментальным результатом для величины электронной аномалии $a_e \equiv (g_e - 2)/2$ позволяет получить наиболее точное значение постоянной тонкой структуры $\alpha^{-1} = 137.035999084(51)$. Оно используется для получения теоретического предсказания значения мюонной аномалии:

$$a_\mu^{\text{теор}} \equiv \left(\frac{g_\mu - 2}{2} \right)^{\text{теор}} = [1165.9183(5)] \cdot 10^{-6} , \quad (2.17)$$

в то время как экспериментальное значение

$$a_\mu^{\text{эксп}} = [1165.9209(6)] \cdot 10^{-6} . \quad (2.18)$$

Неопределенности в последних значащих цифрах приведены в круглых скобках; отличие экспериментального числа от теоретического находится на уровне трех стандартных отклонений, что (быть может) свидетельствует о наличии Новой Физики. Для ее поиска предпочтительна именно мюонная аномалия: вклад тяжелых частиц с массой M подавлен как m_l^2/M^2 , поэтому в a_μ он гораздо больше, чем в a_e .

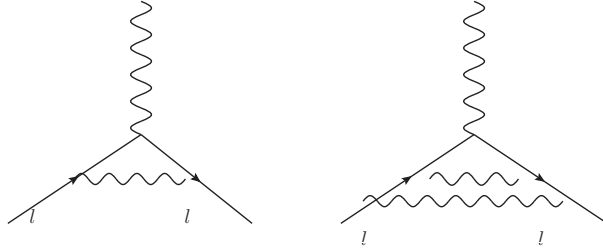


Рис. 2.4. Аномальный магнитный момент лептона l

Обсудим некоторые свойства позитрония – связанного состояния электрона и позитрона. Кулоновское притяжение приводит к появлению связанных состояний со спектром $E_n = -\mu e^4/(2n^2)$, где $n = 1, 2, \dots$, а $\mu = m_e/2$ – приведенная масса электрона и позитрона. Основному состоянию отвечает $n = 1$, $L = 0$, а полный момент $J = 1$ для ортопозитрония и $J = 0$ для парапозитрония и получается сложением спинов e^+ и e^- . Будучи нейтральной системой, позитроний обладает определенной зарядовой четностью C . Под действием зарядового сопряжения электрон переходит в позитрон, а позитрон – в электрон. Волновая функция электрона и позитрона меняет знак при их перестановке, как и при перестановке любых двух фермионов. Учитывая поведение координатной и спиновой волновых функций при перестановке, получаем:

$$C(e^+e^-) = (e^-e^+) = -(-1)^L(-1)^{S+1}(e^+e^-), \quad C = (-1)^{L+S}, \quad (2.19)$$

где S - сумма спинов электрона и позитрона.

Основное состояние парапозитрония C -четно, а ортопозитрония – C -нечетно.

Аннигиляция пары e^+e^- приводит к распаду позитрония. Наибольшую вероятность имеет двухфотонная аннигиляция $e^+e^- \rightarrow 2\gamma$ (однотонная аннигиляция запрещена кинематически, для реального фотона $q^2 = 0$). Отрицательная зарядовая четность фотона ($C\bar{E} = -\bar{E}$,

$C\bar{H} = -\bar{H}$) запрещает распад основного состояния ортопозитрония на два фотона; его время жизни определяется трехфотонной аннигиляцией, $\tau_{\text{орто}} = 1.4 \cdot 10^{-7}$ сек, в то время как для распадающегося на два фотона парапозитрония $\tau_{\text{пара}} = 1.2 \cdot 10^{-10}$ сек. Лишний множитель α в вероятности распада обуславливает такое большое различие во временах жизни орто- и парапозитрониев. Электромагнитное взаимодействие электронов записывается в виде $j_\mu A_\mu$; при C -преобразовании электроны заменяются на позитроны, поэтому $Cj_\mu = -j_\mu$, и C -инвариантность КЭД требует $CA_\mu = -A_\mu$ – еще один способ понять отрицательную C -четность фотона.

Обсудим пространственную четность позитрония. При зеркальном отражении $\vec{x} \rightarrow -\vec{x}$ пространственная часть волновой функции умножается на $(-1)^L$, но оказывается, что это не всё. В релятивистской теории, изучающей рождения и распада частиц, важно понятие внутренней P -четности частицы. Внутренние четности электрона и позитрона противоположны, что является фундаментальным свойством уравнения Дирака. Поэтому P -четность позитрония равна $(-1)^{L+1}$, она отрицательна у основных состояний орто- и парапозитрониев.

Обозначая квантовые числа позитрония в виде J^{PC} , находим для основного состояния парапозитрония $J^{PC} = 0^{-+}$, для ортопозитрония $J^{PC} = 1^{--}$.

Сильно взаимодействующие частицы с целым спином называются мезонами; они состоят из пары кварк - антикварк, и их квантовые числа определяются теми же формулами, что и полученные нами для позитрония. Легчайшими адронами (общее название сильно взаимодействующих частиц) являются π -мезоны. π^0 -мезон “состоит” из $u\bar{u}$ - и $d\bar{d}$ -кварков и имеет спин ноль. Поэтому аналогично парапозитронию квантовые числа π^0 -мезона равны 0^{-+} , и он распадается на два фотона. В системе покоя π^0 -мезона эти фотоны летят в противоположные стороны, и их линейные поляризации перпендикулярны, так как псевдоскалярная комбинация волновых функций двух фотонов имеет вид $F_1 \tilde{F}_2 = \frac{1}{2} \varepsilon_{\mu\nu\rho\sigma} F_{1\mu\nu} F_{2\rho\sigma} \sim \varepsilon_{ikl} k_i E_k^1 E_l^2$, где k_i – трехмерный импульс одного из фотонов. Если бы π^0 был скаляром, то линейные поляризации фотонов были бы параллельны: $F_1 F_2 \equiv F_{1\mu\nu} F_{2\mu\nu} \sim E_i^1 \cdot E_k^2$. Псевдоскалярность π^0 -мезона была проверена в 50-е годы, на заре физики элементарных частиц. Масса π^0 -мезона равна 135 МэВ, и измерить поляризацию фотонов такой большой энергии непосредственно затруднительно. Поэтому анализируются распады, в которых оба фотона, будучи виртуальными, конвертируют в пары e^+e^- , т.е.

распады $\pi^0 \rightarrow e^+e^+e^-e^-$. Эти распады очень редки; на 100000 распадов $\pi^0 \rightarrow \gamma\gamma$ приходится примерно три распада $\pi^0 \rightarrow e^+e^+e^-e^-$. Изучается корреляция плоскостей, в которых разлетаются пары e^+e^- . Эти плоскости оказываются преимущественно перпендикулярными друг другу, что свидетельствует о комбинации квантовых чисел π^0 -мезона $J^P = 0^-$. Аналогичное рассмотрение использовалось в 2013 году для установления P -четности бозона Хиггса. Распады $H \rightarrow \gamma\gamma$ были найдены, однако их относительная вероятность мала, и распады $H \rightarrow \gamma\gamma \rightarrow e^+e^+e^-e^-$ вряд ли будут когда-либо обнаружены. На помощь приходят распады $H \rightarrow ZZ \rightarrow e^+e^+e^-e^-$. На пару Z -бозонов распадается заметная доля бозонов Хиггса, а около 10% распадов Z приходится на пару заряженных лептонов. Изучение корреляции плоскостей разлета этих лептонов показало, что они, в основном, параллельны, т.е. для бозона Хиггса $J^P = 0^+$, что соответствует теоретическим ожиданиям. H – скалярный бозон.

В заключение этой главы обсудим зависимость интенсивности электромагнитного взаимодействия от расстояния, или “бег” “константы” α . Равная $1/137\dots$ на больших расстояниях, она растет, когда характерные расстояния становятся меньше, чем $1/m_e$ (передаваемые импульсы больше, чем m_e). За это явление ответственны приведенные на рис. 2.5 диаграммы.

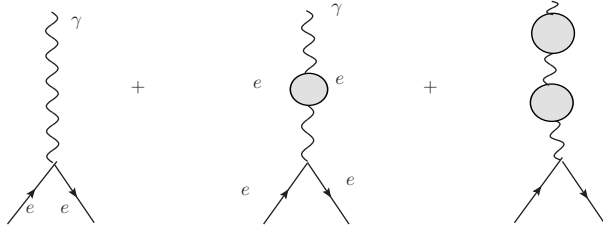


Рис. 2.5. Диаграммы, приводящие к бегу заряда в КЭД

Их суммирование приводит к следующей знаменитой формуле:

$$\alpha(-q^2) = \frac{\alpha}{1 - \frac{\alpha}{3\pi} \ln\left(\frac{-q^2}{m_e^2}\right)} . \quad (2.20)$$

Учет $\mu^+\mu^-$, $\tau^+\tau^-$ и кварк-антикварковых пар ведет к росту коэффициента перед логарифмом.

С ростом $-q^2$ (уменьшением расстояния) эффективный квадрат заряда $\alpha(-q^2)$ растет, что соответствует экранировке заряда на больших расстояниях рождаемыми в вакууме виртуальными e^+e^- -парами. Явление роста заряда проверено экспериментально: в физике промежуточных W - и Z -бозонов адекватной величиной является $\alpha(M_Z^2) \approx 1/128$, на примерно 6% превосходящая постоянную тонкой структуры $\alpha = 1/137\dots$ На экспоненциально малых расстояниях в (2.20) имеется полюс; на таких расстояниях заряд обращается в бесконечность. Можно говорить о несамосогласованности КЭД как теории со слабым взаимодействием: на малых расстояниях взаимодействия становятся сильными. Если потребовать малости заряда на сколь угодно малых расстояниях, то заряд на больших расстояниях обратится в ноль. Это явление, открытое в 50-е годы прошлого века, получило название ноль-заряда (или московский ноль). Оно оказалось присущим всем известным в то время теориям поля в четырехмерном пространстве-времени. Единственное исключение – неабелевы калибровочные теории, в которых имеет место антиэкранировка заряда, и с уменьшением расстояния заряд уменьшается. Что касается КЭД, или $U(1)$ заряда в Стандартной $SU(3)_c \times SU(2)_L \times U(1)$ теории, то можно думать, что еще до ноль-зарядного полюса теория видоизменяется, тем самым решая эту проблему.

Лекция 3

$SU(3)_c$ – квантовая хромодинамика (КХД, QCD)

В трех кварк-лептонных поколениях Стандартной Модели насчитывается шесть кварков: u , d , s , c , b и t , где каждая буква означает Дираковский биспинор. Каждый из кварков может находиться в одном из трех цветовых состояний:

$$q_i = \begin{pmatrix} q_1 \\ q_2 \\ q_3 \end{pmatrix} . \quad (3.1)$$

Динамику кварков описывает локальная цветовая $SU(3)_c$ -симметрия, c – от слова “colour”, цвет. $SU(3)$ – группа унитарных 3×3 матриц S с равным единице детерминантом. Начнем изложение с более простой группы глобальных преобразований $SU(2)$, элемент которой имеет следующий вид:

$$S = e^{i\Lambda_i T_i} , \quad (3.2)$$

где $T_i \equiv 1/2\sigma_i$ – генераторы $SU(2)$, а Λ_i – три произвольных параметра. Из эрмитовости матриц Паули следует унитарность матриц S . Равенство их детерминантов единице следует из формулы

$$\det \exp(Z) = \exp(\text{Tr}Z) . \quad (3.3)$$

Фундаментальное представление $SU(2)$ – двухкомпонентный спинор.

Произвольный элемент группы $SU(3)$ также записывается в виде (3.2), но теперь $T_i \equiv 1/2\lambda_i$, где λ_i – восемь матриц Гелл-Манна:

$$\lambda_{1,2,3} = \begin{pmatrix} 0 & & \\ \sigma_{1,2,3} & 0 & \\ 0 & 0 & 0 \end{pmatrix} , \quad \lambda^{4(5)} = \begin{pmatrix} 0 & 0 & 1(-i) \\ 0 & 0 & 0 \\ 1(i) & 0 & 0 \end{pmatrix} , \quad (3.4)$$

$$\lambda^{6(7)} = \begin{pmatrix} 0 & 0 & 0 \\ 0 & 0 & 1(-i) \\ 0 & 1(i) & 0 \end{pmatrix} , \quad \lambda^8 = \frac{1}{\sqrt{3}} \begin{pmatrix} 1 & 0 & 0 \\ 0 & 1 & 0 \\ 0 & 0 & -2 \end{pmatrix} .$$

Если преобразование локальное, то его параметры Λ_i различны в разных точках пространства-времени, $\Lambda_i \equiv \Lambda_i(x)$.

Для инвариантности кинетического члена кваркового лагранжиана относительно локальных $SU(3)_c$ -преобразований кварковых полей $q(x) = S(x)q'(x)$ производную следует “удлинить” аналогично случаю $U(1)$ -преобразований:

$$\bar{q}\gamma_\mu(\partial_\mu - igA_\mu)q = \bar{q}'\gamma_\mu(\partial_\mu - igA'_\mu)q' \quad , \quad (3.5)$$

где $A_\mu \equiv A_\mu^i \frac{1}{2}\lambda_i$. При испускании или поглощении глюона меняется “цвет” кварка, тогда как его “тип”, или флэйвор, не меняется: u -кварк остается u -кварком, d -кварк – d -кварком и т.д.

Требование инвариантности (3.5) дает закон преобразований векторных полей $A_\mu(x)$:

$$-igA_\mu = S^+\partial_\mu S - igS^+A_\mu S \quad , \quad (3.6)$$

$$A_\mu = S^+A'_\mu S + \frac{i}{g}S^+\partial_\mu S \quad .$$

Восьмерка глюонных полей A_μ^i преобразуется по присоединенному представлению $SU(3)_c$ (первый член после знака равенства в последней формуле), однако наряду с однородным имеется и неоднородный член, аналогичный случаю $U(1)$ -симметрии. В отличие от фотонного поля, глюонные поля преобразуются и при постоянных в пространстве-времени преобразованиях. Это означает, что в отличие от нейтрального фотона ($Q_\gamma = 0$) глюоны имеют цветовые заряды: глюоны излучают глюоны.

Понятие ковариантной производной D_μ позволяет получить глюонный лагранжиан аналогично лагранжиану фотонов. В случае группы $U(1)$

$$D_\mu \equiv \partial_\mu - igA_\mu \quad , \quad (3.7)$$

$$F_{\mu\nu} = D_\mu A_\nu - D_\nu A_\mu = \partial_\mu A_\nu - \partial_\nu A_\mu$$

в силу того, что фотонные поля A_μ и A_ν коммутируют. Тензор электромагнитного поля $F_{\mu\nu}$ инвариантен относительно локальных $U(1)$ -преобразований; Лоренц-инвариантный лагранжиан фотонов равен:

$$\mathcal{L} = -\frac{1}{4}F_{\mu\nu}^2 \quad . \quad (3.8)$$

В случае глюонов поля $A_\mu \equiv A_\mu^i \frac{1}{2}\lambda_i$, будучи матрицами, не коммутируют, поэтому

$$G_{\mu\nu} = D_\mu A_\nu - \partial_\nu A_\mu = \partial_\mu A_\nu - \partial_\nu A_\mu - ig[A_\mu, A_\nu] \quad . \quad (3.9)$$

Нетрудно найти закон преобразования тензора глюонного поля при калибровочных преобразованиях (3.6):

$$G_{\mu\nu} = S^+ G_{\mu\nu} S . \quad (3.10)$$

Инвариантный лагранжиан глюонного поля

$$\mathcal{L} = -\frac{1}{2} \text{Tr} G_{\mu\nu}^2 = -\frac{1}{4} G_{\mu\nu}^i{}^2 , \quad i = 1, 2, \dots, 8 \quad (3.11)$$

наряду с линейными по полям членами содержит изображенные на рис. 3.1 тройную и четверную вершины – неабелева локальная симметрия с необходимостью приводит к взаимодействиям векторных полей друг с другом.



Рис. 3.1. Самодействие глюонов. Индекс “3” у зарядов напоминает, что речь идет о группе $SU(3)_c$

Обмены глюонами связывают кварки в адроны аналогично тому, как обмены фотонами удерживают электрон и позитрон в позитронии. Но имеется существенное отличие: самодействие глюонов приводит к росту взаимодействия с увеличением расстояния, что, в свою очередь, приводит к явлению конфайнмента (пленения) кварков: свободные кварки не могут вылететь из адронов. Для случая неабелевой цветовой симметрии приводящие к бегу заряда диаграммы показаны на рис. 3.2. Сравнивая с рис. 2.5., мы видим дополнительную диаграмму, обусловленную самодействием глюонов.

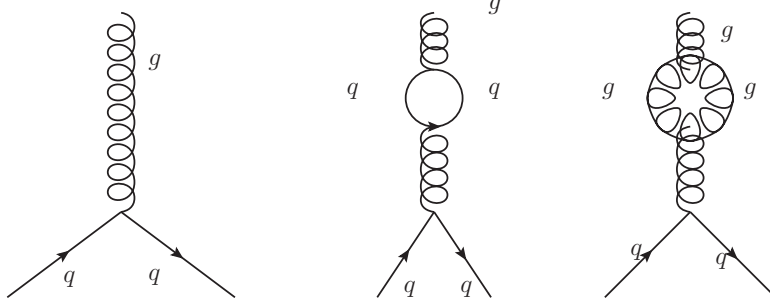


Рис. 3.2. Диаграммы, приводящие к зависимости цветового заряда от расстояния

Вычисление приводит к следующей зависимости:

$$\begin{aligned}
 \alpha_3(-q^2) &= \frac{\alpha_3(\mu^2)}{1 + \frac{\alpha_3(\mu^2)}{4\pi} \left(11 - \frac{2}{3}N_q\right) \ln\left(-\frac{q^2}{\mu^2}\right)} \equiv \\
 &\equiv \frac{4\pi}{\left(11 - \frac{2}{3}N_q\right) \ln\left(-\frac{q^2}{\Lambda_{\text{QCD}}^2}\right)}, \quad (3.12)
 \end{aligned}$$

где N_q – число типов кварков, масса которых меньше, чем μ^2 (то есть при $\mu = 200$ ГэВ имеем $N_q = 6$). Кварки с массами больше q^2 в (3.12) не учитываются; если же $-q^2 > m_q^2 > \mu^2$, то (3.12) видоизменяется: от μ^2 до m_q^2 в N_q такой кварк не учитывается, а от m_q^2 до $-q^2$ значение N_q увеличивается на единицу.

Вклад, пропорциональный $-2/3N_q$, обусловлен кварковой петлей, и он совпадает с абелевым случаем (2.20) с точностью до фактора $1/2$, происходящего от $\text{Tr}T_i^+T_k = 1/2\delta_{ik}$, $T_i \equiv 1/2\lambda_i$ – генератор $SU(3)$ в фундаментальном представлении, стоящий в кварк-кварк-глюонной вершине кварковой петли на рис. 3.2, смотри уравнение (3.5). Знак этого члена тот же, что и в абелевом случае, поэтому он отвечает экранировке заряда. Имеющий противоположный знак член, пропорциональный 11, возникает от глюонной петли. Численно он превосходит вклад кварков, поэтому в КХД имеет место антиэкранировка: с ростом расстояния между цветными объектами взаимодействие растет. При этом методы теории возмущений по малой константе связи, давшие так много замечательных результатов в КЭД, становятся неприменимыми. В частности, мы

не можем найти аналитически спектр бесцветных связанных состояний кварков. Были развиты численные методы, и они дают близкие к измеренным на эксперименте значения масс адронов.

Как уже было сказано, из-за конфайнмента масса цветных объектов бесконечна, конечные же массы имеют бесцветные (“белые”) объекты. Скажем, мезоны, состоящие из пары кварк-антикварк. Качественная картина конфайнмента такова: при “растаскивании” кварка и антикварка из мезона между ними натягивается глюонная струна, энергия которой на единицу длины постоянна (она порядка Λ_{QCD}^2). В какой-то момент струна лопается, и на месте разрыва образуется кварк-антикварковая пара. Физический процесс – распад (бесцветного) мезона на пару (бесцветных) мезонов под действием внешнего возбуждения, скажем, фотона.

Отметим, что лагранжиан КХД не содержит параметра Λ_{QCD} . Он возникает из параметра μ , который вводится для инфракрасной регуляризации интеграла, отвечающего диаграмме Фейнмана, и величины бегущего заряда $\alpha_3(\mu^2)$. Оба эти параметра не фиксированы в теории, но зависимость $\alpha_3(\mu)$ такова, что Λ_{QCD} не зависит от численного значения μ . При $-q^2 = \Lambda_{\text{QCD}}^2$ сильный заряд обращается в бесконечность. Численно $\Lambda_{\text{QCD}} \approx 300$ МэВ. Эта величина определяет значения масс адронов, состоящих из легких u и d кварков.

С ростом $-q^2$ или уменьшением расстояний сильный заряд падает, поэтому теория возмущений позволяет получить целый ряд предсказаний для процессов с участием адронов, в которых доминируют малые расстояния. Один из самых знаменитых примеров – вычисление полного сечения аннигиляции $e^+e^- \rightarrow$ адроны. Порог реакции – две массы π^\pm -мезонов, около 300 МэВ. С увеличением энергии e^+e^- -пары открываются новые каналы реакции: $e^+e^- \rightarrow 3\pi, 4\pi, \rho, \dots$ – конечных состояний все больше, и вычисление сечения становится все более сложной задачей. Обходной путь – вычислить сечение рождения кварковых пар $u\bar{u}, d\bar{d}$ и $s\bar{s}$, которые на следующем этапе реакции “адронизируются” – превращаются в адроны, наблюдаемые в конечном состоянии. Удобно рассматривать отношение сечения рождения адронов к сечению рождения $\mu^+\mu^-$ -пар:

$$R \equiv \frac{\sigma_{e^+e^- \rightarrow \text{hadrons}}}{\sigma_{e^+e^- \rightarrow \mu^+\mu^-}} = 3(Q_u^2 + Q_d^2 + Q_s^2) = 3\left(\frac{4}{9} + 2 \cdot \frac{1}{9}\right) = 2 \quad , \quad (3.13)$$

где множитель “3” происходит от трех цветов кварков, рождающихся некогерентно в e^+e^- -аннигиляции. Кварки имеют дробные электриче-

ские заряды: $Q_u = Q_c = Q_t = +2/3$, $Q_d = Q_s = Q_b = -1/3$. Предсказание независимости R от полной энергии e^+e^- -пары при $\sqrt{s} > 2$ ГэВ и число 2 хорошо подтверждаются экспериментальными данными вплоть до $\sqrt{s} \approx 4$ ГэВ, когда открывается возможность рождения содержащих c (\bar{c}) кварки очарованных адронов, и R скачком возрастает до $\approx 3,3$. При дальнейшем увеличении до $\sqrt{s} \approx 10$ ГэВ R не меняется, а затем скачком возрастает до $\approx 3,6$ – открывается возможность рождения “прелестных” адронов, содержащих b (\bar{b}) кварки. График зависимости экспериментальных данных для R от энергии можно найти в Обзоре Физики Частиц.

Обсудим кварковый состав адронов. Составные модели адронов восходят к модели Ферми начала 50-х годов, в которой недавно открытые π -мезоны (переносчики сильных взаимодействий, предсказанные Юкавой) считались составленными из пары нуклон - антинуклон. Под нуклоном имеются ввиду протон или нейтрон, дублет нуклонов (p, n) преобразуется по фундаментальному представлению глобальной группы изоспина $SU(2)$, а находящиеся в присоединенном триплетном представлении $SU(2)$ $\pi^+(p\bar{n})$, $\pi^0\left(\frac{\bar{p}p-n\bar{n}}{\sqrt{2}}\right)$ и $\pi^-(\bar{p}n)$ мезоны являются составными частицами. Открытие странных частиц (K -мезоны, Λ , Σ , Ξ -гипероны) потребовало расширения изоспиновой $SU(2)$ до флэйворной $SU(3)$ симметрии, в неприводимые представления которой комфортно укладывались известные адроны (восьмиричный путь; Гелл-Манн и Нееман). Наконец, в 1964 году Гелл-Манн и Цвейг ввели три кварка, преобразующихся по фундаментальному представлению группы $SU(3)$ (Цвейг назвал их “ту-зами”, но прижилось название, данное Гелл-Манном и почерпнутое им из романа Джойса). В современных обозначениях это u – up, или верхний, d – down, или нижний, и s – strange, или странный, кварки. Кварки имеют спин $1/2$ и могут находиться в одном из трех цветовых состояний, чему отвечает индекс “i”, скажем, u^1 , u^2 и u^3 , или u^i .

Проще всего инвариантные относительно цветовой группы $SU(3)_c$ “бесцветные”, или “белые”, адроны построить из пары кварк-антикварк: $\bar{q}_i q'_i \equiv \bar{q}_1 q'_1 + \bar{q}_2 q'_2 + \bar{q}_3 q'_3$ (флэйворы q и q' в общем случае различны). Так устроены мезоны. В основном состоянии орбитальный момент кварков равен нулю, и спин мезона определяется полным спином пары кварк-антикварк. Аналогично позитронию мы имеем состояния с $J^P = 0^-$, называемые псевдоскалярными мезонами, и с $J^P = 1^-$ – векторные мезоны. Кварковый состав нонета псевдоскалярных мезонов: $\pi^+(u\bar{d})$, $\pi^0\left(\frac{u\bar{u}-d\bar{d}}{\sqrt{2}}\right)$,

$\pi^-(d\bar{u}), K^+(u\bar{s}), K^0(d\bar{s}), \bar{K}^0(s\bar{d}), K^-(s\bar{u}), \eta_0\left(\frac{u\bar{u}+d\bar{d}-2s\bar{s}}{\sqrt{6}}\right), \eta'_0\left(\frac{u\bar{u}+d\bar{d}+s\bar{s}}{\sqrt{3}}\right)$. Изосинглетное состояние η_0 и $SU(3)$ синглет η'_0 смешиваются, образуя физические η - и η' -мезоны. Масса π -мезонов близка к 140 МэВ, K -мезонов – около 495 МэВ, η – 540 МэВ и, наконец, η' весит 958 МэВ.

Нонет векторных мезонов: $\rho^+(u\bar{d}), \rho^0\left(\frac{u\bar{u}-d\bar{d}}{\sqrt{2}}\right), \rho^-(d\bar{u}), \omega\left(\frac{u\bar{u}+d\bar{d}}{\sqrt{2}}\right), K^{*+}(u\bar{s}), K^{*0}(d\bar{s}), \bar{K}^{*0}(s\bar{d}), K^{*-}(s\bar{u}), \phi(s\bar{s})$. Векторные мезоны тяжелее псевдоскалярных; масса ρ близка к 770 МэВ, ω – 780 МэВ, K^* – 890 МэВ, ϕ – 1020 МэВ. Относительно большая масса мезонов, в состав которых входит s -кварк, обусловлена “тяжестью” последнего. Псевдоскалярные мезоны распадаются по слабым ($\pi \rightarrow \mu\nu, K \rightarrow \mu\nu, K \rightarrow \pi\pi, K \rightarrow 3\pi$) и электромагнитным ($\pi^0 \rightarrow 2\gamma, \eta \rightarrow 2\gamma$) взаимодействиям, что объясняет их сравнительно большое время жизни. Поясним, почему η -мезон не распадается по сильному взаимодействию. Распад $\eta \rightarrow 2\pi$ запрещен P -четностью. Понять отсутствие сильного распада $\eta \rightarrow 3\pi$ помогает понятие G -четности, равной произведению зарядового сопряжения C на результат вращения на 180° вокруг оси “у” в изопространстве. Изотопически и зарядовоинвариантное сильное взаимодействие сохраняет G -четность, равную -1 для изотриплетных π -мезонов и +1 для изосинглетных η - и η' -мезонов. G -четность системы трех π -мезонов отрицательна, поэтому распады $\eta, \eta' \rightarrow 3\pi$ не могут идти по сильному взаимодействию (распады $\eta \rightarrow 3\pi$ идут по нарушающей изотопическую инвариантность электромагнитному взаимодействию). Распад $\eta \rightarrow 4\pi$ запрещен кинематически, так как масса системы 4π превышает массу η -мезона.

Векторные мезоны распадаются по сильному взаимодействию, что объясняет их большую ширину. Распады $\rho \rightarrow 2\pi$ приводят к ширине ρ -мезона $\Gamma_\rho \approx 150$ МэВ, что близко к его массе. G -четность изоскалярного ω -мезона отрицательна, поэтому доминирует распад $\omega \rightarrow 3\pi$, и $\Gamma_\omega \approx 10$ МэВ. Распады $K^* \rightarrow K\pi$ приводят к $\Gamma_{K^*} \approx 50$ МэВ, и, наконец, распад $\phi \rightarrow K\bar{K}$ дает $\Gamma_\phi \approx 4$ МэВ (малая ширина обусловлена маленьким фазовым объемом рождающихся K -мезонов, $v_K = \sqrt{1 - (2m_K/m_\phi)^2} \approx 0.25$).

Барионы состоят из антисимметричной по цвету комбинации трех кварков. Поэтому в силу принципа Паули произведение координатной, спиновой и флэйворной волновых функций кварков в барионах должно быть симметрично относительно перестановки кварковых полей. Орбитальные моменты кварков в основном состоянии равны нулю (пространственная волновая функция тем самым симметрична). Симметричная

спиновая волновая функция отвечает спину бариона $3/2$ и требует симметричной флэйворной волновой функции. Спину бариона $1/2$ отвечает смешанная симметрия спиновой волновой функции. Произведение трех $SU(3)$ флэйворных волновых функций кварков дает 27 компонентов, из которых 10 принадлежат симметричному представлению (декуплет), 1 – антисимметричному и две восьмерки отвечают смешанному представлению (октеты).

Приведем кварковый состав октета барионов:

$$\begin{array}{ccc}
 p(uud) & & n(udd) \\
 \\
 \Sigma^+(uus) & \Lambda([ud]s) \\
 & \Sigma^0(\{ud\}s) & \Sigma^-(dds) \\
 \\
 \Xi^0(uss) & & \Xi^-(dss)
 \end{array}$$

Здесь симметричная комбинация u - и d -кварков обозначена фигурными скобками (изоспин Σ -гиперонов равен единице), антисимметричная – квадратными (изоспин Λ -гиперона равен нулю). Массы протона и нейтрона близки к 940 МэВ, $m(\Lambda) \approx 1115$ МэВ, $m(\Sigma) \approx 1190$ МэВ, $m(\Xi) \approx 1320$ МэВ. Более тяжелые гипероны распадаются на более легкие по меняющемуся флэйвор кварков слабому взаимодействию, протон же, как самый легкий барион, стабилен (распады типа $p \rightarrow e^+ \pi^0$ запрещены законом сохранения барионного числа).

Декуплет гиперонов со спином $3/2$ приведен вместе с кварковым составом и массами частиц:

$\Delta^{++}(uuu)$	$\Delta^+(uud)$	$\Delta^0(udd)$	$\Delta^-(ddd)$	1230 МэВ
	$\Sigma^{+*}(uus)$	$\Sigma^{0*}(uds)$	$\Sigma^{-*}(dds)$	1385 МэВ
	$\Xi^{0*}(uss)$	$\Xi^{-*}(dss)$		1530 МэВ
		$\Omega^-(sss)$		1670 МэВ

Существование Ω^- -гиперона было предсказано Гелл-Манном, исходя из $SU(3)$ симметрии.

Члены декуплета распадаются на гипероны из октета с испусканием π -мезона; распады идут за счет сильного взаимодействия. Единственное исключение – Ω^- -гиперон, распадающийся по слабому взаимодействию. Время жизни Σ , Λ , Ξ и Ω гиперонов – порядка 10^{-10} секунды, а ширины Δ , Σ^* и Ξ^* варьируются от 100 МэВ (Δ) до 10 МэВ (Ξ^*). Большое время жизни нейтрона (≈ 900 секунд) объясняется малым энерговыделением в распаде $n \rightarrow pe^- \bar{\nu}_e$. Электрические заряды кварков однозначно следуют из зарядов Δ^{++} ($Q_u = +2/3$), Δ^- ($Q_d = -1/3$) и Ω^- ($Q_s = -1/3$). При этом мы полагаем, что заряд кварка не зависит от его цвета.

Массы кварков определяются косвенным образом. Начнем с легких u -, d - и s -кварков. Доминирующий распад заряженного π^- -мезона $\pi^- \rightarrow \mu^- \nu_\mu$ происходит через аннигиляцию π^- -мезона аксиальным кварковым током, описываемую следующим матричным элементом

$$\langle 0 | \bar{u} \gamma_\alpha \gamma_5 d | \pi^- \rangle = f_\pi p_\alpha \quad , \quad (3.14)$$

где p_α – 4-импульс π -мезона. Домножая обе части (3.14) на p_α и пользуясь уравнением Дирака для кварковых полей, получим:

$$(m_d + m_u) \langle 0 | \bar{u} \gamma_5 d | \pi^- \rangle = f_\pi m_\pi^2 \quad . \quad (3.15)$$

Из аналогичного рассмотрения распада K^- -мезона $K^- \rightarrow \mu^- \nu_\mu$ получим:

$$(m_s + m_u) \langle 0 | \bar{u} \gamma_5 s | K^- \rangle = f_K m_K^2 \quad . \quad (3.16)$$

В силу флэйворной $SU(3)$ симметрии $f_\pi \approx f_K$, и стоящие в (3.15) и (3.16) матричные элементы также примерно равны, что приводит к следующему результату:

$$\frac{m_s + m_u}{m_d + m_u} = \frac{m_K^2}{m_\pi^2} \approx 13 . \quad (3.17)$$

Масса странного кварка может быть определена из разности масс членов декуплета гиперонов:

$$m_s \approx m_{\Sigma^*} - m_\Delta \approx m_{\Xi^*} - m_{\Sigma^*} \approx m_\Omega - m_{\Xi^*} \approx 150 \text{ МэВ} . \quad (3.18)$$

Если массы u - и d -кварков были бы равны, то из (3.17) и (3.18) мы бы нашли, что $m_u = m_d = 6 \text{ МэВ}$. Анализ разностей масс членов изомультиплетов позволяет определить разность масс u - и d -кварков. В результате было получено:

$$m_u \approx 3 \text{ МэВ} , \quad m_d \approx 7 \text{ МэВ} , \quad m_s \approx 150 \text{ МэВ} . \quad (3.19)$$

Естественно возникает вопрос: почему в силу $SU(3)$ -симметрии $f_\pi \approx f_K$, в то время как m_π^2 и m_K^2 столь сильно отличаются? Тут дело в специальной роли псевдоскалярных мезонов, массы которых зануляются в пределе безмассовых кварков. Именно поэтому легкость π -мезона ($m_\pi^2 \approx 0.02 \text{ ГэВ}^2$) свидетельствует о малости масс u - и d -кварков (имеется ввиду малость в масштабе $\Lambda_{\text{КХД}} \approx 300 \text{ МэВ}$).

Перейдем к тяжелым c -, b - и t -кваркам, массы которых велики по сравнению с $\Lambda_{\text{КХД}}$. Масса содержащих c - и b -кварки адронов в основном определяется массами тяжелых кварков. Состоящий из $c\bar{c}$ -кварков J/ψ мезон весит 3.1 ГэВ, поэтому масса c -кварка примерно равна 1.5 ГэВ. Состоящий из $b\bar{b}$ -кварков Υ -мезон весит 9.4 ГэВ; масса b -кварка близка к 4.5 ГэВ. t -кварк весит около 174 ГэВ и за ядерное время распадается, поэтому адронных состояний он образовывать не успевает. Его масса определяется из кинематики его распада (сумма 4-импульсов рождающихся частиц в квадрате равна квадрату массы t -кварка).

В заключение сделаем следующее замечание. Говорить о том, что адрон составлен из каких-то определенных легких кварков не совсем корректно. Кварки испускают глюоны, которые, в свою очередь, могут рождать кварк-антикварковые пары. Так как константа сильных взаимодействий α_s велика на адронном масштабе, такими процессами нельзя пренебрегать. Поэтому была выработана подходящая терминология:

кварки блоковые (из которых состоят адроны) и кварки токовые (входящие в лагранжиан КХД). Блоковые u - и d -кварки весят примерно по 300 МэВ (их утроенная масса близка к массам нуклонов). Мы же определяли величины масс токовых кварков.

Лекция 4

SU(2)_L × U(1) – электрослабая теория.

Первую теорию слабых взаимодействий, объясняющую β -распады ядер четырехфермионным переходом $n \rightarrow pe^- \bar{\nu}_e$, предложил в 1934 году Энрико Ферми. Электрон и нейтрино при этом образуются в ходе распада аналогично образованию фотона при распаде возбужденного атома.

Описывающий β -распад нейтрона лагранжиан имеет следующий вид:

$$\mathcal{L} = \frac{G_F}{\sqrt{2}} \bar{p} \gamma_\alpha (1 + g_A \gamma_5) n \bar{e} \gamma_\alpha (1 + \gamma_5) \nu_e, \quad (4.1)$$

где константа взаимодействия $G_F \approx 10^{-5}/m_p^2$, и ее малость объясняет слабость взаимодействия.

Токи $\bar{e} \gamma_\alpha \nu_e$ и $\bar{p} \gamma_\alpha n$ являются векторными, а $\bar{e} \gamma_\alpha \gamma_5 \nu_e$ и $\bar{p} \gamma_\alpha \gamma_5 n$, где

$$\gamma_5 \equiv -i\gamma_0\gamma_1\gamma_2\gamma_3 = \begin{pmatrix} 0 & -1 \\ -1 & 0 \end{pmatrix} - \quad (4.2)$$

– аксиальными. Поэтому в (4.1) наряду с P -четными членами $V \cdot V$ и $A \cdot A$ входит P -нечетная комбинация $V \cdot A$ – слабое взаимодействие нарушает пространственную четность. Нарушающее P -четность четырехфермионное взаимодействие было установлено во второй половине 50-х годов; Ферми в своей теории использовал произведение векторных токов по аналогии с квантовой электродинамикой, отмечая, тем не менее, возможность других вариантов.

Выясним физический смысл проектора $P_L = (1 + \gamma_5)/2$. Записывая биспинор через двухкомпонентные спиноры, мы видим, что P_L выделяет суперпозицию $\varphi - \chi$. Из уравнения Дирака (2.13) получим:

$$\varphi - \chi = \left(1 - \frac{\bar{\sigma} \bar{p}}{E + m} \right) \varphi. \quad (4.3)$$

В случае ультрарелятивистской частицы $E \gg m$ (нейтрино удовлетворяет этому требованию во всех практически интересных случаях), предполагая, что частица движется вдоль оси z , мы убеждаемся, что ее спин ориентирован против импульса:

$$(1 - \bar{\sigma} \bar{n}) \begin{pmatrix} \varphi_+ \\ \varphi_- \end{pmatrix} = \begin{pmatrix} 0 & 0 \\ 0 & 2 \end{pmatrix} \begin{pmatrix} \varphi_+ \\ \varphi_- \end{pmatrix} = 2 \begin{pmatrix} 0 \\ \varphi_- \end{pmatrix}. \quad (4.4)$$

Таким образом, проектор P_L выделяет поляризованное против импульса нейтрино, рождающееся в слабых взаимодействиях. Очевидно нарушение P -четности: при отражении координат $\bar{x} \rightarrow -\bar{x}$ изменяет направление импульс нейтрино, а спин, являясь аксиальным вектором, направления не меняет. Поэтому в “зазеркальном мире” в слабых распадах нейтронов рождаются поляризованные вдоль импульса нейтрино.

Биспинор $\psi_L \equiv P_L\psi$ называют левым, а $\psi_R \equiv P_R\psi$ ($P_R = (1 + \gamma_5)/2$) – правым. В ультрарелятивистском случае ψ_L описывает поляризованную против импульса частицу, а ψ_R – частицу, поляризованную вдоль импульса.

С точки зрения современной теории распад нейтрона происходит за счет изображенного на рис. 4.1 распада d -кварка $d \rightarrow ue^- \bar{\nu}_e$, обусловленного обменом промежуточным заряженным W -бозоном.

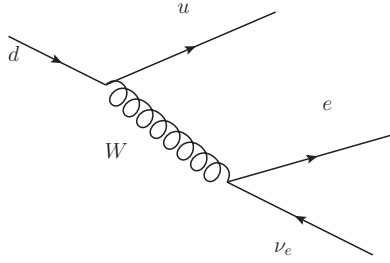


Рис. 4.1. Распад d -кварка

Описываемая диаграммой рис. 4.1 амплитуда сводится к четырехфермионной и дает микроскопическое объяснение происхождения фермиевской константы:

$$G_F \sim \frac{g^2}{M_W^2} \approx \frac{(0.3)^2}{(80 \text{ ГэВ})^2} . \quad (4.5)$$

До сих пор мы говорили о распадах частиц, которые обусловлены обменом заряженным W -бозоном. Создаваемые на ускорителях пучки мюонных нейтрино ν_μ позволили изучить реакцию неупругого рассеяния $\nu_\mu N \rightarrow \mu^- X$, где N – ядро мишени, а X – состояние, содержащее большое количество сильно взаимодействующих частиц (адронов). В 1973 году в ЦЕРНе были обнаружены аналогичные события без рождения мюона.

Эти события получили название “нейтральных токов” – они обусловлены обменом нейтральным Z -бозоном, смотри рис. 4.2.

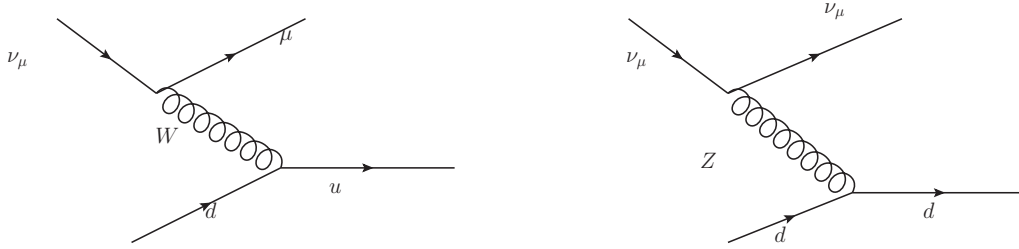


Рис. 4.2. Диаграммы, приводящие к неупругому рассеянию за счет заряженного (W) и нейтрального (Z) токов

Итак, слабые взаимодействия обусловлены обменами тяжелыми промежуточными W^\pm - и Z -бозонами. Тем самым теория (как и предвидел Ферми) близка к квантовой электродинамике, отличаясь от нее в двух пунктах: в отличие от фотона, W и Z массивны, и теория неабелева – имеется три промежуточных векторных бозона: W^+ , его античастица W^- и нейтральный Z . Однако придать самосогласованным образом массы промежуточным бозонам оказалось непросто.

Начнем с $U(1)$ -теории и добавим в лагранжиан массовый член:

$$\mathcal{L} = -\frac{1}{4}F_{\mu\nu}^2 + \frac{1}{2}M^2 A_\mu^2 . \quad (4.6)$$

Уравнение Лагранжа

$$\frac{\partial}{\partial x_\mu} \frac{\delta \mathcal{L}}{\delta \partial_\mu A_\nu} = \frac{\delta \mathcal{L}}{\delta A_\nu} \quad (4.7)$$

приводит к следующему уравнению на поле A_μ :

$$\square A_\mu - \partial_\mu \partial_\nu A_\nu + M^2 A_\mu = 0 . \quad (4.8)$$

Уравнение на функцию Грина в импульсном представлении имеет следующий вид:

$$[(k^2 - M^2)g_{\mu\nu} - k_\mu k_\nu] G_{\nu\rho} = \delta_{\mu\rho} , \quad (4.9)$$

решая которое, для функции Грина (или пропагатора) векторной частицы получим:

$$G_{\mu\nu} = \frac{g_{\mu\nu} - \frac{k_\mu k_\nu}{M^2}}{k^2 - M^2} . \quad (4.10)$$

Импульс, текущий по пропагатору W при слабых распадах частиц $|k| \ll M$, и пропагатор ведет себя как $1/M_W^2$, что объясняет оценку (4.5). Однако в пределе больших импульсов $|k| \gg M$ пропагатор не падает с ростом импульса, что делает теорию с массивным векторным бозоном перенормируемой. Последнее означает, что петлевые поправки к древесным амплитудам расходятся неконтролируемым образом, и, тем самым, успешное описание распадов частиц древесными амплитудами не имеет теоретического обоснования. Вычисление амплитуд в перенормируемой теории невозможно. Корень зла – массовый член в лагранжиане (4.6). Возникает задача придания массы векторным бозонам без введения массового члена в лагранжиан. Эта задача была решена практически одновременно в нескольких теоретических работах в 1964 году, когда было обнаружено явление, позже названное эффектом Хиггса по имени автора одной из этих работ. Аналогичное физическое явление имеет место в теории сверхпроводимости Гинзбурга–Ландау (1950). В этой теории выталкивание магнитного поля из сверхпроводника (эффект Мейснера) происходит за счет смешивания фотона с безмассовым скалярным полем (параметром порядка) φ , в результате чего фотон становится массивным и магнитное поле экспоненциально затухает вглубь сверхпроводника.

Безмассовое скалярное поле – очень неестественный объект: радиационные поправки немедленно сделают такое поле массивным. Поэтому изложение перенормируемой теории массивных векторных полей (а это теория слабых взаимодействий) следует начать с эффекта Голдстоуна, позволяющего получать безмассовые скалярные частицы естественным образом.

Рассмотрим теорию комплексного скалярного поля, описываемую следующим лагранжианом:

$$\mathcal{L} = |\partial_\mu \phi|^2 - \lambda^2 [|\phi|^2 - \eta^2]^2 . \quad (4.11)$$

Эта теория инвариантна относительно глобальных $U(1)$ -преобразований: $\phi(x) = e^{i\alpha} \phi'(x)$. Если имеющий размерность квадрата массы параметр η^2 отрицателен, то мы имеем дело с массивным комплексным полем ϕ ,

лагранжиан для которого без члена $\sim |\phi|^4$ нам уже встречался, см. формулу (2.5). Гораздо более интересен случай $\eta^2 > 0$, когда минимум потенциала достигается на окружности $|\phi| = \eta$, а сам потенциал $V(\phi) = \lambda^2[(\phi)^2 - \eta^2]^2$ является фигурой вращения и напоминает мексиканскую шляпу “сомбреро”, или доньшко бутылки, смотри рис. 4.3.

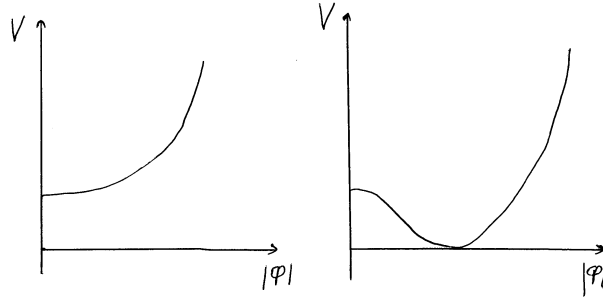


Рис. 4.3. Зависимость $V(\phi)$

Выбирая в качестве вакуума состояние $\langle \phi \rangle = \eta$ и раскладывая поле ϕ в окрестности вакуума

$$\phi(x) = \eta + \rho(x) + i\varphi(x) \quad , \quad (4.12)$$

получим:

$$\mathcal{L} = (\partial_\mu \rho)^2 - 4\eta^2 \lambda^2 \rho^2 + (\partial_\mu \varphi)^2 - 4\eta \lambda^2 \rho \varphi^2 - \lambda^2 \varphi^4 \quad . \quad (4.13)$$

Комплексное поле ϕ распалось на два вещественных: ρ с массой $2\lambda\eta$ и безмассовое φ . Произошло явление, не совсем удачно называемое спонтанным нарушением симметрии: вакуум теории не инвариантен относительно $U(1)$ -преобразования: $\eta = e^{i\alpha}\eta'$. Тем не менее, $U(1)$ -симметрия осталась: именно из-за нее поле φ не имеет массы. Не возникает масса у φ и при учете радиационных поправок. С таким явлением в квантовой теории поля в конце 50-х годов встретился Джеффри Голдстоун; безмассовая частица, отвечающая полю φ , получила название голдстоуновского бозона.

Следующий шаг – сделать $U(1)$ -симметрию локальной, “удлинив” производную в кинетическом члене (4.11) и добавив лагранжиан абелева векторного поля:

$$\mathcal{L} = |D_\mu \phi|^2 - \frac{1}{4} F_{\mu\nu}^2 - \lambda^2 [|\phi|^2 - \eta^2]^2 . \quad (4.14)$$

Подставляя разложение около минимума потенциала скалярного поля (4.12), увидим, что голдстоуновский бозон из-за члена $e\eta\partial_\mu\varphi A_\mu$ смешался с векторным бозоном, а у того возник массовый член $e^2\eta^2 A_\mu^2$. Из двух поляризаций безмассового векторного поля A_μ и двух степеней свободы комплексного поля ϕ получилось массивное векторное поле, имеющее три поляризации, и вещественный массивный скаляр ρ . Голдстоуновское поле φ поглощено безмассовым векторным полем и служит его третьей компонентой поляризации. За счет этого поглощения A_μ стало массивным. Численное значение вакуумного среднего η определяется величиной константы слабого взаимодействия: $G_F \sim e^2/(e^2\eta^2) = 1/\eta^2$, $\eta = 246$ ГэВ.

Наконец все готово для изложения электрослабой теории Глэшоу–Вайнберга–Салама, основанной на локальной симметрии $SU(2) \times U(1)$. В теории имеется триплет векторных полей A_μ^i , $i = 1, 2, 3$ и абелево поле B_μ , калибрующие, соответственно, $SU(2)$ - и $U(1)$ -симметрии. Ковариантная производная имеет следующий вид:

$$D_\mu = \partial_\mu - igA_\mu^i T^i - ig' \frac{Y}{2} B_\mu , \quad (4.15)$$

где g и g' – заряды, а Y – гиперзаряд, подбираемый таким образом, чтобы кварки и лептоны имели наблюдаемые на эксперименте электрические заряды. Лагранжиан бозонного сектора имеет следующий вид:

$$\mathcal{L}_1 = -\frac{1}{4} B_{\mu\nu}^2 - \frac{1}{2} \text{Tr} A_{\mu\nu}^2 + |D_\mu H|^2 - \lambda^2 [|H|^2 - \eta^2]^2 , \quad (4.16)$$

где дублет хиггсов $H = (H^+, H^0)$ приобретает в минимуме потенциала вакуумное среднее $\langle H \rangle = (0, \eta)$. При этом калибровочная $SU(2) \times U(1)$ -симметрия нарушается до абелевой $U(1)$ -группы, описывающей квантовую электродинамику. Четыре векторных бозона A_μ^i и B_μ образуют заряженный бозон $W_\mu^\pm = (A_\mu^1 \pm iA_\mu^2)/\sqrt{2}$ и нейтральные бозоны: массивный Z_μ и безмассовый фотон A_μ . Два последних являются линейными суперпозициями A_μ^3 и B_μ . Параметры модели η , g и g' фиксируются значениями

G_F , e и M_Z , известными с очень хорошей точностью. W - и Z -бозоны были обнаружены в ЦЕРНе в 1983 году на протон-антипротонном коллайдере SPS. Последний неизвестный параметр λ определяет массу бозона Хиггса. Обнаружение в 2012 году бозона Хиггса с массой 126 ГэВ на протон-протонном коллайдере LHC в ЦЕРНе зафиксировало численное значение λ . Это случилось через 45 лет после публикации работы Вайнберга, содержащей электрослабую $SU(2) \times U(1)$ -модель с хиггсовским механизмом генерации масс промежуточных векторных бозонов (работа Глэшоу опубликована в 1961 году, Салама – в 1969).

Перейдем к фермионному сектору. Левые кварки и лептоны входят в $SU(2)$ -дублеты, правые являются синглетами:

$$\begin{pmatrix} u \\ d \end{pmatrix}_L, \begin{pmatrix} c \\ s \end{pmatrix}_L, \begin{pmatrix} t \\ b \end{pmatrix}_L; u_R, c_R, t_R, d_R, s_R, b_R \quad (4.17)$$

$$\begin{pmatrix} \nu_1 \\ e \end{pmatrix}_L, \begin{pmatrix} \nu_2 \\ \mu \end{pmatrix}_L, \begin{pmatrix} \nu_3 \\ \tau \end{pmatrix}_L; e_R, \mu_R, \tau_R, N_{1R}, N_{2R}, N_{3R} \quad (4.18)$$

На всякий случай мы ввели в состав частиц правые нейтрино N_i , хотя, возможно, таких частиц и нет в природе. Кинетические члены первого, второго и третьего семейства одинаковы; выпишем их для первого семейства:

$$\mathcal{L}_2 = \bar{L}\hat{D}L + \bar{Q}\hat{D}Q + \bar{e}_R\hat{D}e_R + \bar{u}_R\hat{D}u_R + \bar{d}_R\hat{D}d_R + \hat{N}_{1R}\hat{D}N_{1R}, \quad (4.19)$$

где буквами L и Q обозначены лептонный и кварковый дублет, соответственно. Структура лагранжиана такова, что с W -бозонами взаимодействуют только левые фермионы, а с фотоном и Z -бозоном – и левые, и правые, причем с фотоном левые и правые взаимодействуют с одной и той же константой связи, и поэтому электромагнитный ток чисто векторный.

Осталась неразобранной последняя часть лагранжиана, дающая массы кваркам и лептонам. Это юкавское взаимодействие хиггсовского дублета с фермионами. Если бы Стандартная Модель содержала одно кварк-лептонное семейство, то мы имели бы

$$\tilde{\mathcal{L}}_3 = f_l \bar{L} H e_R + f_d \bar{Q} H d_R + f_u \bar{Q} \tilde{H} u_R, \quad (4.20)$$

где $f_e = m_e/\eta$, $f_d = m_d/\eta$, $f_u = m_u/\eta$, а $\tilde{H}_a \equiv \varepsilon_{ab}H_b^*$ и $\varepsilon_{ab} = \begin{pmatrix} 0 & 1 \\ -1 & 0 \end{pmatrix}$.

При подстановке в (4.20) $H = (0, \eta + H(x))$ мы получаем массовые члены фермионов, а также их взаимодействия с бозоном Хиггса. Последние пропорциональны массам фермионов: чем тяжелее фермион, тем больше константа его взаимодействия с хиггсовским бозоном. Обсуждение массы нейтрино мы отложим до следующей лекции.

Может возникнуть следующий вопрос: $SU(2)$ – неабелева группа; не возникает ли в ней конфайнмента, ведущего к “запиранию” промежуточных бозонов и кварков с лептонами аналогично тому, как это происходит с кварками и глюонами в $SU(3)_c$ -теории сильных взаимодействий. Ответ – нет, и это видно из формулы для пропагатора W -бозона с учетом рад. поправок, схематично имеющей следующий вид:

$$G_W(q^2) = \frac{1}{q^2 - M_W^2 + \alpha_2(M_W^2)q^2 \ln\left(\frac{-q^2}{M_W^2}\right)}. \quad (4.21)$$

При $-q^2 \gg M_W^2$ массой W -бозона в знаменателе можно пренебречь, и с уменьшением $-q^2$ пропагатор растет, как и положено в неабелевой теории. Однако когда $-q^2$ становится порядка M_W^2 и уменьшается дальше, в знаменателе доминирует член M_W^2 – рост пропагатора прекращается, и в рассматриваемом случае он “замерзает” при численно малом значении: в хиггсовской фазе мы имеем дело с последовательной неабелевой теорией с малой константой связи.

Обсудив почти все ингредиенты электрослабой теории, перейдем к анализу физических процессов и начнем с открытия бозона Хиггса на ЛНС.

Сталкивающиеся в ЛНС протоны содержат легкие кварки, связь которых с бозоном Хиггса чрезвычайно мала: $m_q/\eta \sim 10^{-5}$. Поэтому основная часть хиггсовских бозонов рождается за счет механизма, показанного на рис. 4.4: излучаемые легкими кварками глюоны рождают виртуальные (находящиеся вне массовой поверхности) t -кварки, которые в силу своей очень большой массы сильно связаны с H .

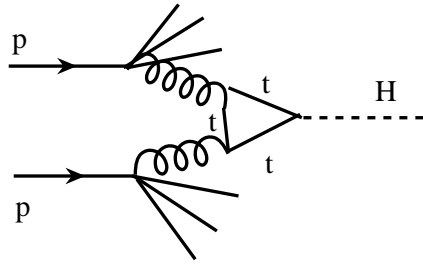


Рис. 4.4. Рождение хиггсовского бозона на LHC

Но родить новую частицу – это лишь полдела. Необходимо ее задетектировать. Ширина H близка к 5 МэВ, что отвечает времени жизни $\sim 10^{-22}$ секунды. Поэтому H распадается практически в той же точке, где и рождается, и его детектирование происходит по продуктам распада. В настоящее время измерены произведения сечения рождения H на относительные вероятности его распадов по пяти каналам: $H \rightarrow WW^*$, ZZ^* , $b\bar{b}$, $\tau^+\tau^-$ и $\gamma\gamma$ (см. рис. 4.5 - 4.8). Результаты совпадают с предсказаниями теории, хотя точность пока невелика, порядка 30%. Точность экспериментальных данных заметно повысится после набора данных на LHC в 2015 - 2017 годах.

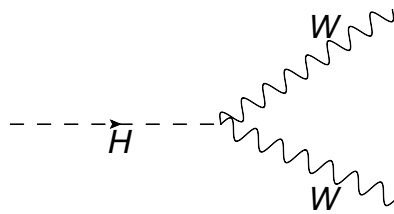


Рис. 4.5. Распад $H \rightarrow WW^*$

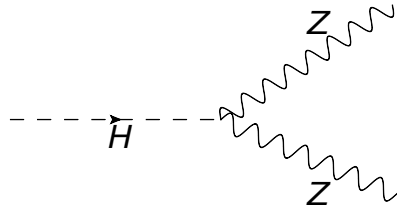


Рис. 4.6. Распад $H \rightarrow ZZ^*$

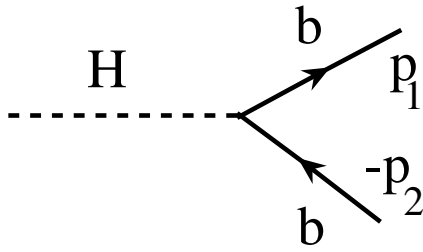


Рис. 4.7. Распад $H \rightarrow b\bar{b}$. Такая же диаграмма с заменой $b \rightarrow \tau$ описывает распад $H \rightarrow \tau\tau$

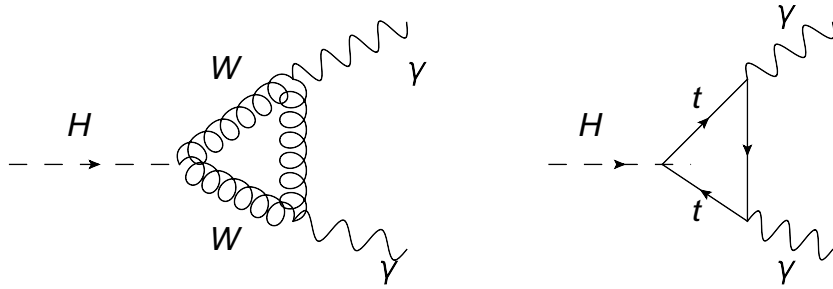


Рис. 4.8. Распад $H \rightarrow 2\gamma$

До 1956 года считалось, что наряду с непрерывной группой преобразований Лоренца квантовая теория поля инвариантна относительно дискретных преобразований отражения пространственных координат $\bar{x} \rightarrow$

$-\bar{x}$ (P), времени $t \rightarrow -t$ (T) и замены частиц на античастицы (C). Это было так для наиболее хорошо изученной теории – квантовой электродинамики. Сейчас мы знаем, что ненарушенной является только симметрия СРТ – произведение трех дискретных симметрий: симметрии P , C , CP , T нарушаются в слабом взаимодействии.

Все началось с так называемой $\theta - \tau$ проблемы: были обнаружены распады $\theta^+ \rightarrow (2\pi)^+$ и $\tau^+ \rightarrow (3\pi)^+$, которые приписывали разным частицам θ и τ . Это было вызвано тем, что P -четность системы 2π в s -волне положительна, а системы 3π – отрицательна. Инвариантные массы θ и τ оказались равными; более того, они имели одинаковое время жизни. Ли и Янг предположили, что θ и τ – это одна и та же частица, в распадах которой P -четность нарушается. Сейчас эта частица называется K^+ -мезоном. Нарушение P -четности в слабых распадах вскоре было подтверждено в опытах по распадам ядер, где была найдена корреляция спина распадающегося ядра и импульса вылетающего электрона вида $\vec{s}\vec{p}$, которая явно нарушает P -четность, так как импульс \vec{p} – вектор, а спин \vec{s} – псевдовектор (или аксиальный вектор). В слабых взаимодействиях, обусловленных обменом W -бозонами, участвуют левые электроны и правые позитроны, что демонстрирует нарушение C -инвариантности: под действием преобразования C левый электрон переходит в не взаимодействующий с W левый позитрон. Однако при последующем P -преобразовании левый позитрон переходит в правый – CP сохраняется. Ли и Янг высказали свою гипотезу в 1956 году; в 1964 году в распадах (на этот раз) нейтральных каонов было обнаружено нарушение CP .

K^0 -мезон состоит из $(d\bar{s})$ -кварков, а \bar{K}^0 – из $(s\bar{d})$ -кварков. Странность нарушается в слабом взаимодействии, и во втором порядке по слабому взаимодействию происходят переходы $K^0 \leftrightarrow \bar{K}^0$. При этом состояниями с определенной массой являются их линейные суперпозиции

$$K_1^0 = \frac{K^0 + \bar{K}^0}{\sqrt{2}} \quad \text{и} \quad K_2^0 = \frac{K^0 - \bar{K}^0}{\sqrt{2}} \quad , \quad (4.22)$$

имеющие противоположные CP -четности: $CP(K_1^0) = +1$, $CP(K_2^0) = -1$. В распадах на два пиона образующееся состояние имеет $CP(2\pi) = +1$, поэтому такие распады в силу сохранения CP возможны только для K_1^0 , что делает его короткоживущим. Он получил название K_S от “short life time”. K_2^0 распадается по трехчастичным каналам, живет долго и называется K_L от “long life time”. В 1964 году были найдены нарушающие CP

распады $K_L \rightarrow 2\pi$. Это редкие распады; так распадается один из примерно 500 K_L -мезонов. Причиной нарушения CP, приводящего к распадам $K_L \rightarrow 2\pi$, является ненулевая фаза в амплитуде $K^0 - \bar{K}^0$ перехода, меняющая знак при замене K^0 на \bar{K}^0 .

В 2000-х годах было обнаружено нарушение CP в распадах B_d -мезонов; скажем, $\Gamma(B_d \rightarrow \pi^+\pi^-) \neq \Gamma(\bar{B}_d \rightarrow \pi^+\pi^-)$. Здесь опять дело в фазе. Амплитуды распадов имеют следующий вид:

$$\begin{aligned} M(B_d \rightarrow \pi^+\pi^-) &= A + Be^{i(\delta+\varphi)} , \\ M(\bar{B}_d \rightarrow \pi^+\pi^-) &= A + Be^{i(\delta-\varphi)} . \end{aligned} \quad (4.23)$$

Отличие δ и φ от нуля приводят к неравенству $|M(B_d)|^2 \neq |M(\bar{B}_d)|^2$.

Следующий вопрос: где в лагранжиане Стандартной Модели содержится эта нарушающая CP-симметрию фаза? Она содержится в той части лагранжиана, которая дает массу кваркам, при учете наличия трех фермионных поколений. Для одного поколения эти слагаемые были обозначены $\tilde{\mathcal{L}}_3$, см. ф-лу (4.20). В случае нескольких поколений константы f_e , f_d и f_u заменяются матрицами $N \times N$, где N – число поколений. Кварковая часть имеет следующий вид:

$$\mathcal{L}_{3q} = f_d^{ik} \bar{Q}'_i H d'_{Rk} + f_u^{ik} \bar{Q}'_i \tilde{H} u'_{Rk} . \quad (4.24)$$

Значок “ \prime ” у кварковых полей подчеркивает, что эти состояния не имеют определенной массы из-за недиагональных массовых членов. Переход к массовым состояниям требует диагонализации матриц $f_{u,d}^{ik}$. При этом одновременно становится диагональной связь хиггсовского бозона с кварками. Диагонализировать произвольную матрицу можно, домножая ее справа и слева на две различные унитарные матрицы. Обратные матрицы, действуя на кварковые поля, переводят их в состояния с определенными массами:

$$d_R = D_R d'_R , \quad d_L = D_L d'_L , \quad u_R = U_R u'_R , \quad u_L = U_L u'_L , \quad (4.25)$$

где D_R, \dots, U_L – унитарные $N \times N$ матрицы; в случае трех поколений – это матрицы 3×3 . Переписывая лагранжиан Стандартной Модели в терминах полей d_R, \dots, u_L мы обнаружим, что матрицы D_R, \dots, U_L сокращаются в силу своей унитарности во всех членах лагранжиана кроме вершины испускания W -бозона, которая приобретает следующий вид:

$$\frac{g}{\sqrt{2}} \bar{u}_L U_L D_L^+ \gamma_\mu d_L W_\mu = \frac{g}{\sqrt{2}} \bar{u}_L K \gamma_\mu d_L W_\mu , \quad (4.26)$$

где унитарная матрица K описывает смешивание кварков в заряженном токе. Унитарная матрица $N \times N$ содержит N^2 независимых вещественных параметров: $N(N-1)/2$ углов (как и ортогональная $N \times N$ матрица) и $N^2 - N(N-1)/2 = N(N+1)/2$ фаз. Часть фаз не является физическими (или наблюдаемыми); от них можно избавиться, домножая кварковые поля u_{Li} и d_{Li} на фазовые множители. Всего таких фаз $2N$, однако домножение всех нижних кварков на одну и ту же фазу преобразует матрицу K так же, как и домножение всех верхних кварков на противоположную фазу. Итого, вращением кварковых полей можно убрать из матрицы K $2N - 1$ фаз, оставив в ней $N(N+1)/2 - (2N-1) = (N-1)(N-2)/2$ независимых фаз. Впервые одна фаза появляется в случае трех поколений, наблюдаемых на опыте. Она и объясняет нарушение СР в распадах K - и B -мезонов. Матрица K называется матрицей смешивания кварков Кабиббо–Кобаяши–Маскава. В случае двух поколений фазы нет; СР-инвариантность не нарушена. Имеется один угол смешивания θ_c , введенный Кабиббо в 1963 году. Отличие его от нуля делает возможным распады странных частиц, так как заряженный слабый ток содержит слагаемое $\bar{u}_L \gamma_\mu (\cos \theta_c d_L + \sin \theta_c s_L)$. Десятью годами позже, в 1973 году, Кобаяши и Маскава заметили, что в случае трех кварк-лептонных поколений в матрице смешивания появляется СР нарушающая фаза. Кварки и лептоны третьего поколения были открыты после этой работы, и сейчас данные по нарушению СР в распадах B - и K -мезонов подтверждают механизм Кобаяши–Маскава. Фаза и три угла смешивания кварков сейчас измерены с хорошей точностью; мы приведем их численные значения в следующей лекции.

Из обсуждавшихся дискретных симметрий не нарушено только произведение СРТ. Дело в том, что замену $\bar{x}, t \rightarrow -\bar{x}, -t$ можно получить непрерывным вращением четырехмерного пространства-времени, поэтому Лоренц-инвариантность обеспечивает эту симметрию. Поворот стрелы времени превращает частицу в античастицу, от положительной энергии мы переходим к отрицательной, от волновой функции налетающей частицы – к волновой функции вылетающей античастицы. Поэтому преобразование РТ следует дополнить С, и мы приходим к симметрии СРТ, обеспечивающей, в частности, равенство масс и полных времен жизни частиц и античастиц.

Лекция 5 Нейтрино.

Нейтрино не участвуют в сильных взаимодействиях и не имеют электрического заряда; они участвуют только в слабых взаимодействиях. Рассмотрим начнем с реакции $pp \rightarrow De^+\nu_e$, являющейся основным источником солнечной энергии. Заметную часть этой энергии уносят нейтрино. Учитывая, что $m_p = 938.3$ МэВ, $m_n = 939.6$ МэВ, $m_e = 0.5$ МэВ и энергия связи протона и нейтрона в дейтроне $\varepsilon = 2.2$ МэВ, найдем, что энергия нейтрино $E_\nu \lesssim 0.4$ МэВ. Спектр нейтрино, рождаемых в ядерных реакциях на Солнце, тянется до 14 МэВ. Для сечения рассеяния таких нейтрино на нуклоне, используя $E_\nu \sim 1$ МэВ, получим:

$$\sigma_{\nu N} \sim G_F^2 E_\nu^2 \sim \frac{10^{-10}}{m_p^2} \left(\frac{E_\nu}{m_p} \right)^2 \lesssim 10^{-44} \text{ см}^2 . \quad (5.1)$$

Беря в качестве средней плотности Солнца 1 г/см^3 , найдем, что длина свободного пробега солнечных нейтрино по порядку величины равна

$$l = 1/(n\sigma) \sim 1/(10^{24} \frac{1}{\text{см}^3} \cdot 10^{-44} \text{ см}^2) \sim 10^{20} \text{ см} . \quad (5.2)$$

Учитывая, что радиус Солнца $R_\odot \approx 7 \cdot 10^{10}$ см, мы получим, что нейтрино пролетает, не рассеиваясь, 10^9 Солнц! Эта оценка показывает, насколько слабо взаимодействуют нейтрино и как тяжело их детектировать.

Следующий вопрос – есть ли у нейтрино масса. В теорию массу нейтрино можно ввести так же, как мы делали это для кварков и заряженных лептонов, добавив поля правых нейтрино. Однако до конца 80-х годов считалось, что нейтрино безмассовы, и поэтому правые нейтрино не добавлялись в лагранжиан Стандартной Модели. Наиболее точные верхние ограничения на массу электронного нейтрино следовали из анализа спектра электронов, образуемых в β -распаде трития. Тритий выделен малым энерговыделением, равным 18 кэВ. Формула для корня квадратного из спектра образующихся электронов носит название графика Кюри и имеет следующий вид:

$$\sqrt{\frac{dN_e}{dE_e}} \sim \sqrt{(\Delta - E_e) \sqrt{(\Delta - E_e)^2 - m_\nu^2}} . \quad (5.3)$$

Для выяснения вопроса о том, есть ли у нейтрино масса, исследуется форма графика Кюри вблизи максимальной энергии электронов: она линейна по E_ν в случае $m_\nu = 0$ и имеет корневое поведение для массивного нейтрино. Современное ограничение $m_{\nu_e} < 2$ эВ получено в экспериментах в Троицке и Майнце; будущий эксперимент Катрин в Карлсруэ будет на порядок чувствительнее и доведет верхнее ограничение до 0.2 эВ (либо обнаружит массу нейтрино).

К настоящему времени во многих экспериментах обнаружены осцилляции нейтрино, что доказывает наличие у них массы. Рассмотрим осцилляции в случае смешивания двух сортов нейтрино, ν_1 и ν_2 :

$$\begin{aligned}\nu_e &= \cos \theta \nu_1 + \sin \theta \nu_2 , \\ \nu_\mu &= -\sin \theta \nu_1 + \cos \theta \nu_2 ,\end{aligned}\quad (5.4)$$

где θ – угол смешивания нейтрино. Рождающееся в ядерной реакции на Солнце ν_e следующим образом эволюционирует во времени и пространстве:

$$\begin{aligned}|\nu_e(t)\rangle &= \cos \theta |\nu_1(t)\rangle + \sin \theta |\nu_2(t)\rangle = \\ &= \cos \theta e^{-iE_1 t + ip_1 x} |\nu_1\rangle + \sin \theta e^{-iE_2 t + ip_2 x} |\nu_2\rangle ,\end{aligned}\quad (5.5)$$

где за направление распространения нейтрино взята ось x . Точка $x = 0$ отвечает месту, где произошла ядерная реакция. Поэтому мы должны положить $E_1 = E_2 \equiv E$, так как кинематически запрещено рождение мюонов и ν_μ в ядерных реакциях, энерговыделение в которых никогда не достигает $m_\mu = 105$ МэВ (мы рассматриваем осцилляции в приближении плоских волн; рассмотрение с помощью волновых пакетов приводит к тем же формулам для вероятности осцилляций). Перепишем (5.5), используя равенство $p_2 - p_1 = -\frac{m_2^2 - m_1^2}{2E} \equiv -\Delta m^2 / (2E)$:

$$|\nu_e(t)\rangle = e^{-iEt + ip_1 x} \left[\cos \theta |\nu_1\rangle + \sin \theta \exp\left(-i\frac{\Delta m^2}{2E}x\right) |\nu_2\rangle \right] .\quad (5.6)$$

Вероятность того, что, пролетев расстояние x , электронное нейтрино останется электронным нейтрино, дается следующей формулой:

$$\begin{aligned}P_{ee} &= |\langle \nu_e | \nu_e(t) \rangle|^2 = |\cos^2 \theta + \sin^2 \theta \exp(-i\frac{\Delta m^2}{2E}x)|^2 = \\ &= 1 - \sin^2 2\theta \sin^2 \left(\frac{\Delta m^2}{4E}x \right) .\end{aligned}\quad (5.7)$$

Если угол смешивания θ равен нулю или $\pi/2$, то флэйворные состояния ν_e и ν_μ имеют определенные массы, и осцилляции не происходят.

Можно убедиться, что $P_{e\mu} = 1 - P_{ee}$, где $P_{e\mu}$ – вероятность обнаружить на расстоянии x мюонное нейтрино. Выражение для P_{ee} удобно переписать в следующем виде:

$$P_{ee} = 1 - \sin^2 2\theta \sin^2 1.27 \left[\frac{\Delta m^2 (\text{эВ}^2)}{E (\text{МэВ})} x (\text{м}) \right] , \quad (5.8)$$

где энергия нейтрино измеряется в МэВ'ах, а расстояние – в метрах, что удобно для электронных нейтрино, образующихся в ядерных реакциях. Для рождаемых на ускорителях мюонных нейтрино энергию удобнее измерять в ГэВ'ах, а расстояние – в километрах (при этом коэффициент 1.27 в (5.8) не изменяется).

Амплитуда осцилляций максимальна при $\theta = \pi/4$. Следует иметь в виду, что в условиях реального эксперимента с реакторными и ускорительными нейтрино или при наблюдениях солнечных и атмосферных нейтрино происходит усреднение по некоторым интервалам x и E , что ведет к частичному замыванию осцилляционной картины.

Уменьшение потока ν_e от Солнца объясняется осцилляциями; осцилляции реакторных $\bar{\nu}_e$ были обнаружены в эксперименте Kamland. Для угла смешивания и разности квадратов масс получено:

$$\begin{aligned} \theta_{12} &\equiv \theta_\odot = 35^\circ \pm 3^\circ , \\ \Delta m_{21}^2 &\equiv m_2^2 - m_1^2 = (8.0 \pm 0.3) \cdot 10^{-5} \text{эВ}^2 . \end{aligned} \quad (5.9)$$

Согласно (5.8) вероятность осцилляции не зависит от знака Δm^2 , однако влияние среды, в которой распространяются нейтрино, позволяет этот знак определить (эффект Михеева–Смирнова–Вольфенштейна). ν_2 оказалось тяжелее ν_1 . Недостаток солнечных нейтрино впервые был обнаружен в 70-х годах в эксперименте Дэвиса и потом был подтвержден в целом ряде экспериментов. Исключительно интересные результаты в 2000-х годах получены на детекторе SNO (Sudbury Neutrino Observatory, Канада). Нейтрино рассеиваются в тяжелой воде, и обнаружен как недостаток ν_e по реакции $\nu_e d \rightarrow e^- pp$, так и тот факт, что ν_e осциллируют в активные в нейтральных токах нейтрино: число реакций $\nu d \rightarrow \nu pn$, идущих за счет обмена Z -бозонами, совпадает с ожидаемым в отсутствии осцилляций.

Существование нейтринных осцилляций считается твердо установленным в 1998 году после публикации данных японского детектора Суперкамиоканда, свидетельствовавших об осцилляции атмосферных нейтрино. Эти нейтрино образуются при распадах π -мезонов и мюонов, рождаемых при взаимодействии состоящих в основном из протонов космических лучей с атмосферой Земли. В первичной реакции происходит множественное рождение пионов. Основной распад заряженных пионов $\pi^\pm \rightarrow \mu^\pm \bar{\nu}_\mu^{(-)}$ сопровождается распадом мюона $\mu^\pm \rightarrow e^\pm \bar{\nu}_e^{(-)} \nu_\mu^{(-)}$. Итого на каждое электронное нейтрино (либо антинейтрино) приходится ν_μ и $\bar{\nu}_\mu$; отношение $[N(\nu_\mu) + N(\bar{\nu}_\mu)]/[N(\nu_e) + N(\bar{\nu}_e)]$ должно быть близко к двум. Проведем мысленно плоскость, перпендикулярную радиусу Земли, через детектор Суперкамиоканда и разделим детектируемые нейтрино на летящих “сверху” и летящих “снизу”. Тогда для первых соотношение 2:1 выполняется, в то время как “снизу” летит примерно одинаковое количество ν_μ и ν_e . При этом поток ν_e “сверху” и “снизу” примерно одинаков и совпадает с теоретически предсказанным; недостаток испытывает поток идущих “снизу” мюонных нейтрино. Поэтому объяснение следует искать в осцилляциях $\nu_2 \leftrightarrow \nu_3$, так как в случае $\nu_2 \leftrightarrow \nu_1$ осцилляций поток ν_e увеличивался бы. То, что осциллируют только идущие “снизу” ν_μ , говорит о том, что длина осцилляций заметно больше толщи атмосферы ~ 10 км. Поэтому даже родившиеся в верхних слоях атмосферы ν_μ не успевают проосциллировать до детектора. На ускорителях пучки нейтрино создаются в распадах заряженных π и K -мезонов, и это пучки ν_μ (или $\bar{\nu}_\mu$) с небольшой примесью электронных нейтрино. Их осцилляции с такими же параметрами, которые требуются для объяснения данных по атмосферным нейтрино, наблюдались в Японии в эксперименте K2K (нейтрино рождались на ускорителе КЕК и детектировались детектором Суперкамиоканда, расположенном на расстоянии примерно 250 км) и в США в эксперименте MINOS (рождаемые в Батавии нейтрино детектировались примерно в 700 км от ускорителя). В обоих ускорительных экспериментах был обнаружен недостаток мюонных нейтрино. Все обсуждавшиеся до сих пор эксперименты фиксировали частичное “исчезновение” ν_e или ν_μ за счет осцилляций. В эксперименте OPERA (рождаемые в ЦЕРН ν_μ детектируются в лаборатории Гран Сассо в Италии) ищут “появление” ν_τ . К настоящему времени зафиксировано рождение в детекторе двух τ -лептонов за счет $\nu_\tau \rightarrow \tau$ перехода (заряженный ток).

Из экспериментальных данных получены следующие параметры 2-3

осцилляций:

$$\begin{aligned}\theta_{23} &= 45^\circ \pm 4^\circ, \\ |\Delta m_{23}^2| &= (2.4 \pm 0.1)10^{-3} \text{ эВ}^2.\end{aligned}\quad (5.10)$$

Аналогичная матрице смешивания трех поколений кварков матрица смешивания трех поколений лептонов получила название матрицы PMNS в честь впервые рассмотревшего осцилляции нейтрино Понтекорво (1957 г.), а также Маки, Накагавы и Сакаты. В случае дираковских нейтрино она, так же как и матрица смешивания кварков, параметризуется тремя углами и одной фазой и может быть получена в результате перемножения трех матриц, описывающих вращения вокруг третьей, второй и первой осей координат:

$$V_{PMNS} = \begin{pmatrix} 1 & 0 & 0 \\ 0 & c_{23} & s_{23} \\ 0 & -s_{23} & c_{23} \end{pmatrix} \begin{pmatrix} c_{13} & 0 & s_{13}e^{-i\delta} \\ 0 & 1 & 0 \\ -s_{13}e^{i\delta} & 0 & c_{13} \end{pmatrix} \begin{pmatrix} c_{12} & s_{12} & 0 \\ -s_{12} & c_{12} & 0 \\ 0 & 0 & 1 \end{pmatrix}.\quad (5.11)$$

Угол θ_{13} был измерен одновременно в нескольких экспериментах в 2012 году и оказался малым. Перемножая матрицы в (5.11), подставляя $\theta_{12} = \theta_\odot$, $\theta_{23} = 45^\circ$ и предполагая малость $\sin \theta_{13}$, получим:

$$\begin{pmatrix} \nu_e \\ \nu_\mu \\ \nu_\tau \end{pmatrix} = \begin{pmatrix} c_\odot & s_\odot & s_{13}e^{i\delta} \\ -\frac{s_\odot}{\sqrt{2}} & \frac{c_\odot}{\sqrt{2}} & \frac{1}{\sqrt{2}} \\ \frac{s_\odot}{\sqrt{2}} & -\frac{c_\odot}{\sqrt{2}} & \frac{1}{\sqrt{2}} \end{pmatrix} \begin{pmatrix} \nu_1 \\ \nu_2 \\ \nu_3 \end{pmatrix}.\quad (5.12)$$

Здесь ν_1 , ν_2 и ν_3 – состояния с определенными массами, а ν_e , ν_μ и ν_τ входят в заряженный ток, будучи умноженными на e , μ и τ , соответственно. Иерархия $|\Delta m_{12}^2| \ll |\Delta m_{13}^2| \approx |\Delta m_{23}^2|$ и $\theta_{13} \ll 1$ позволяла нам до сих пор ограничиваться рассмотрением осцилляций в системе двух нейтрино. Рождаемое в ядерных реакциях ν_e в пределе $s_{13} = 0$ состоит из двух массовых состояний. Учет отличия s_{13} от нуля приводит к ряби в вероятности $P_{ee}(x)$, длина волны которой в $|\Delta m_{13}^2/\Delta m_{12}^2| \approx 30$ раз меньше длины волны осцилляций ν_e , а амплитуда подавлена фактором s_{13}^2 . Именно эта “рябь” позволила измерить угол θ_{13} в реакторных экспериментах Double Chooz, RENO и Daya Bay с относительно коротким (порядка одного километра) расстоянием от реакторов до дальних детекторов. Уменьшение потока $\bar{\nu}_e$ в дальних детекторах по сравнению

с потоком в ближних детекторах демонстрирует осцилляции, отвечающие $|\Delta m_{13}^2| \simeq |\Delta m_{23}^2|$, померенному ранее в осцилляциях атмосферных и ускорительных ν_μ , и

$$\theta_{13} = 9^\circ \pm 1^\circ . \quad (5.13)$$

Этот результат был опубликован в 2012 году. Осцилляции ускорительных и атмосферных ν_μ происходят с относительно малой длиной волны, и поэтому фаза между ν_1 и ν_2 на таких расстояниях набегать не успевают, что оправдывает описание в рамках двух массовых состояний нейтрино: $-s_\odot \nu_1 + c_\odot \nu_2$ и ν_3 . Для флэйворного содержания ν_3 из (5.12) получим:

$$\nu_3 = s_{13} \nu_e + \frac{1}{\sqrt{2}} (\nu_\mu + \nu_\tau) , \quad (5.14)$$

поэтому в результате осцилляций с определяемой $|\Delta m_{23}^2|$ длиной волны ускорительных ν_μ в них возникает примесь ν_e . Обнаружение этой примеси в 2011 году в эксперименте T2K позволило заключить, что θ_{13} отличен от нуля. Измерение его величины было опубликовано в 2013 году и дало близкий к (5.13) результат; задержка была связана с сильным землетрясением 2011 года в Японии. Из параметров нейтринных осцилляций осталось установить знак Δm_{31}^2 : является ли ν_3 тяжелее ν_2 и ν_1 (так называемая нормальная иерархия) или легче (обратная иерархия). Также остается определить величину нарушающей CP фазы δ , что можно сделать, сравнивая вероятности $\nu_\mu \rightarrow \nu_e$ и $\bar{\nu}_\mu \rightarrow \bar{\nu}_e$ осцилляций. И, наконец, надо выяснить природу массы нейтрино и измерить ее величину.

Нейтрино, будучи нейтральной частицей, может описываться вещественным полем аналогично тому, как описывается фотон или π^0 -мезон. Такое нейтрино было рассмотрено еще в 30-х годах Этторе Майорана и получило название майорановского нейтрино в отличие от дираковского, описываемого комплексным полем. Матрица смешивания майорановских нейтрино отличается от дираковских, так как теперь мы теряем свободу домножать поле на фазу, и из матрицы смешивания лептонов можно убрать только три фазы из шести домножением на фазу полей заряженных лептонов. Из трех оставшихся фаз одна называется дираковской, и это фаза δ , уже встречавшаяся нам. К ней добавляются две так называемые майорановские фазы. В формулах для осцилляций начальные и конечные состояния – нейтрино с определенными флэйворами; массовые состояния являются промежуточными. В результате майорановские фазы входят в амплитуды в комбинациях вида $e^{i\alpha} \times (e^{i\alpha})^*$ и выпадают.

Они остаются в амплитудах $2\beta 0\nu$ распадов, обнаружение которых позволило бы доказать, что нейтрино являются майорановскими частицами. Существуют ядра, распадающиеся по схеме $N \rightarrow N' 2e^- 2\bar{\nu}_e$, называемой двойным β -распадом, или $2\beta 2\nu$ -распадом. В экспериментах детектируются электроны; их суммарная энергия изменяется от $2m_e$ до полной энергии, равной разности масс исходного и конечного ядер. Если нейтрино майорановские, то лептонный заряд не сохраняется, и возможными становятся безнейтринные $2\beta 0\nu$ распады: суммарная энергия электронов равняется разности масс ядер, непрерывный спектр dN/dE_e заменяется дельта-функцией. Амплитуда $2\beta 0\nu$ распада пропорциональна линейной комбинации масс нейтрино, домноженных на углы и фазы матрицы смешивания. Современное ограничение на эту комбинацию близко к 1 эВ; планируемые эксперименты позволят понизить это ограничение на порядок, либо обнаружить $2\beta 0\nu$ распад, что докажет майорановскую природу нейтрино.

В заключение этой лекции приведем численные значения параметров матрицы смешивания кварков. Определяемый в слабых распадах странных частиц $\sin \theta_{12} \approx 0.22$. В распадах B -мезонов с образованием очарованных частиц измеряется угол θ_{23} : $\sin \theta_{23} \approx 4 \cdot 10^{-2}$. В распадах B -мезонов без рождения чарма определяется $\sin \theta_{13} \approx 4 \cdot 10^{-3}$. Наконец, вся совокупность данных по нарушению CP в распадах B - и K -мезонов описывается фазой $\delta \approx 70^\circ$. Видно, что матрица смешивания кварков близка к диагональной, в отличие от матрицы смешивания лептонов, в которой углы θ_{12} и θ_{23} велики.

Лекция 6 За Стандартной Моделью.

Рассматривавшаяся нами до сих пор Стандартная Модель физики элементарных частиц всесторонне экспериментально проверена и надежно установлена. При любом дальнейшем развитии, при построении новой, более совершенной, теории, Стандартная $SU(3)_C \times SU(2)_L \times U(1)$ Модель никуда не пропадет и останется важной частью новой теории. В этой лекции будут обсуждаться возможные пути расширения Стандартной Модели, поэтому ее статус иной: обсуждаются не твердо установленные факты, а некоторые спекуляции, часть из которых, возможно, войдет в будущую теорию.

Естественно начать с очевидного недостатка Стандартной Модели: в ней имеется слишком много свободных параметров, большая часть которых сосредоточена в юкавском секторе: 12 масс кварков и лептонов, 8 (или 10 в случае майорановских нейтрино) углов и фаз смешивания лептонов и кварков. Еще имеются три калибровочные константы связи, масса и вакуумное среднее бозона Хиггса. Итого около 25 параметров, что слишком много для фундаментальной теории. Теории Великого Объединения связывают некоторые из этих параметров; они основаны на объединении калибровочных взаимодействий в одну группу: $SU(5)$, или $SO(10)$, имеются и более экзотические возможности, основанные на исключительных группах. Объединение констант в этих теориях происходит при очень высоких энергиях $\sim 10^{15}$ ГэВ, что делает невозможной их прямую экспериментальную проверку.

Наряду с обсуждавшимися взаимодействиями элементарных частиц, все они участвуют в гравитационном взаимодействии. В силу лежащего в основе общей теории относительности принципа эквивалентности гравитирует не гравитационная масса, а тензор энергии-импульса элементарных частиц, размерность которого равна четырем. Будучи умноженным на поле гравитона $h_{\mu\nu}$ размерности один, мы приходим к размерной константе связи, равной $1/M_P$, где $M_P = 10^{19}$ ГэВ – масса Планка. Такая теория неперенормируема: ряд теории возмущений идет по $(E/M_P)^2$. При этом древесное приближение работает прекрасно, правильно описывая отклонение света в гравитационном поле Солнца и другие эффекты ОТО. Непротиворечивое включение гравитации в физику элементарных частиц является важнейшей задачей.

Третья проблема Стандартной Модели, которую мы собираемся обсудить, носит название проблемы иерархий, или проблемы тонкой настройки. В лагранжиане Стандартной Модели есть один размерный параметр: отрицательный квадрат массы бозона Хиггса, член $m_0^2 H^+ H$. Радиационные поправки к этому параметру расходятся и содержат ряд по константе связи:

$$[m_0^2 + (c_1 g^2 + c_2 g^4 + \dots) \Lambda^2] H^+ H \quad (6.1)$$

Стандартная процедура состоит в подборе затравочного параметра m_0^2 таким образом, чтобы сумма в квадратных скобках (6.1) равнялась $m^2 \sim (100 \text{ ГэВ})^2$ – величине, дающей наблюдаемое значение массы бозона Хиггса. Проблема возникает, когда мы придаем параметру ультрафиолетового обрезания Λ физическое значение. Пусть он по порядку величины равен масштабу Великого Объединения 10^{15} ГэВ, либо массе Планка 10^{19} ГэВ. Тогда требуется чрезвычайно тонкая настройка параметра m_0 с тем, чтобы при вычитании двух чисел, каждое из которых $\sim 10^{30} \div 10^{40}$ ГэВ² осталось $\sim 10^4$ ГэВ². Гораздо естественнее предположить, что разность – порядка самих этих чисел. Но тогда масштаб слабых взаимодействий оказывается неприемлемо большим. В теории с элементарными скалярными полями иерархия масштабов выглядит чрезвычайно искусственно. Этой проблемы не возникает со спинорами – скажем, радиационные поправки к массе электрона зависят от Λ лишь логарифмически:

$$m_e = \left[1 + (d_1 e^2 + d_2 e^4 + \dots) \ln \frac{\Lambda^2}{m_{e_0}^2} \right] m_{e_0} \quad (6.2)$$

Даже при $\Lambda \sim 10^{19}$ ГэВ иерархии между m_e и m_{e_0} не возникает; они имеют близкие численные значения. Именно на этом наблюдении основано решение проблемы иерархий с помощью низкоэнергетической суперсимметрии.

Суперсимметрией называется симметрия между бозонами и фермионами. В супермультиплет входят бозоны и фермионы; в силу симметрии их массы равны. Равны и радиационные поправки к массам; квадратичные расходимости в массах скалярных частиц сокращаются, а остающиеся логарифмические расходимости, как уже было сказано, не приводят к проблеме иерархий.

Суперсимметричные теории поля исключительно красивы, и до сих пор велика надежда на то, что низкоэнергетическая суперсимметрия

имеет место в природе. Отсутствие вырождения по массе известных фундаментальных частиц с разными спинами говорит о том, что суперсимметрия должна быть нарушена. В этих моделях предсказывается большее количество новых частиц: каждая известная частица имеет суперпартнера. Спинорные кварки и лептоны – скалярные кваркино и лептино; векторные фотоны, глюоны и W -бозоны – спинорные фотино, глюино и W -бозино; скалярный хиггс – спинорное хиггсино. Поиск суперпартнеров уже долгие годы является одной из основных задач для ускорителей, рассчитанных на рекордные энергии. Работавший на полную энергию 8 ТэВ ЛНС поднял нижнюю границу на массы кваркино и лептино до примерно 1.5 ТэВ. С переходом на энергию 14 ТэВ доступно станет открытие кваркино и глюино с массами вплоть до 3 ТэВ и, быть может, низкоэнергетическая (так!) суперсимметрия будет наконец обнаружена.

До сих пор мы говорили о внутренних проблемах Стандартной Модели и способах их решения. На необходимость расширения Стандартной Модели указывают также космологические данные. Лишь около 5% плотности энергии во Вселенной приходится на частицы Стандартной Модели – протоны и находящиеся, в основном, в ядрах гелия нейтроны. В пять раз бóльшая плотность приходится на так называемую темную материю – нейтральные не участвующие в сильных взаимодействиях частицы. К тому времени, когда температура ранней Вселенной упала до примерно одного электронвольта и началась рекомбинация (образование нейтрального водорода из электронов и протонов), темная материя уже собралась в сгустки, послужившие зародышами галактик. Нейтрино были тогда релятивистскими, сгустков не образовывали, и поэтому они не годятся на роль темной материи. Важно отметить, что в суперсимметричных расширениях Стандартной Модели имеется подходящий кандидат на роль частиц темной материи. Это легчайшая суперсимметричная частица, английская аббревиатура LSP. Как правило, она стабильна и нейтральна, являясь смесью суперпартнеров бозона Хиггса, фотона и Z -бозона. Ее масса порядка 100 ГэВ; вычисление современной концентрации LSP во Вселенной дает необходимые 25% общей плотности энергии при вполне приемлемых параметрах моделей. Этот результат рассматривается как сильный аргумент в пользу низкоэнергетической суперсимметрии. Поиски частиц темной материи ведутся во многих лабораториях мира.

Остальные 70% плотности энергии приходятся на космологическую постоянную, так называемый Λ -член. Численно он равен примерно $(10^{-3} \text{ эВ})^4$,

и теоретически воспроизвести это значение возможно только в теории, объединяющей гравитацию и физику элементарных частиц. Дело в том, что без учета гравитации Λ -член никак не проявляется физически, являясь плотностью энергии вакуума. В электрослабой теории его естественное значение $\sim \eta^4 \sim (100 \text{ ГэВ})^4$, в КХД оно $\sim (\Lambda_{\text{КХД}})^4 \sim (1 \text{ ГэВ})^4$, в теории гравитации $\sim (M_P)^4 = (10^{19} \text{ ГэВ})^4$. Задача на будущее – понять, каким образом эти гигантские числа компенсируются, и остается наблюдаемый чрезвычайно маленький, но ненулевой Λ -член.

Генерация избытка барионов во Вселенной также требует расширения Стандартной Модели. Заполняющее Вселенную реликтовое излучение имеет планковский спектр с температурой 2.7° К , что отвечает плотности фотонов, примерно равной 400 фотонам на см^3 . Усредненная по Вселенной плотность протонов примерно равна 1 протону на м^3 . Итого, на один протон сейчас приходится примерно 10^9 фотонов. Если идти вспять по времени, то это отношение кардинально изменяется, когда температура Вселенной превышает $\sim 1 \text{ ГэВ}$. При этом, скажем, в реакции $\gamma\gamma \rightarrow p\bar{p}$ интенсивно рождаются протоны и антипротоны (при таких температурах правильнее говорить о кварках). Соответствующие реакции происходят очень быстро, и при $T \gtrsim 1 \text{ ГэВ}$ устанавливаются термодинамические распределения кварков и антикварков. При этом их плотность близка к плотности фотонов $\sim T^3$, отличаясь от нее только за счет того, что кварки – фермионы. Мы должны предположить, что при этих высоких температурах на 10^9 фотонов приходится 10^9 антикварков и $10^9 + 1$ кварк. Такое предположение выглядит чрезвычайно искусственно; гораздо естественнее предположить, что Вселенная родилась с нулевым барионным зарядом, а наблюдаемая асимметрия (BAU, барионная асимметрия Вселенной) возникла динамически. Три условия, необходимые для генерации BAU, были сформулированы А.Д. Сахаровым в 1967 году, вскоре после открытия реликтового излучения и CP-нарушения в распадах каонов. Во-первых, должен не сохраняться барионный заряд – иначе из начального состояния с $B = 0$ невозможно получить состояние с $B \neq 0$. Во-вторых, должны нарушаться C- и CP-симметрии – иначе процессы с рождением барионов и антибарионов будут иметь одинаковую вероятность, и состояния с $B > 0$ получить не удастся. И, наконец, в системе должно нарушаться термодинамическое равновесие: в равновесном состоянии не важно, какая реакция идет быстрее – все они успевают произойти, и функции распределения кварков и антикварков становятся

Ферми–Дираковскими с нулевым химпотенциалом.

В Стандартной Модели реализуются все три условия Сахарова: отклонение от равновесия достигается за счет расширения Вселенной и/или фазового перехода с образованием конденсата Хиггса; барионный заряд нарушается аномалией в дивергенции барионного тока, обусловленной нарушением лево-правой симметрии в слабом взаимодействии. Тем не менее, численно в Стандартной Модели ВАУ оказывается исчезающе малой. Наиболее популярный в настоящее время сценарий генерации ВАУ называется лептогенезисом. Стандартная Модель расширяется введением очень тяжелых правых нейтрино, в распадах которых генерируется лептонная асимметрия, которая перерабатывается в барионную асимметрию процессами, идущими за счет аномалии. Отметим, что введение тяжелых правых нейтрино также позволяет объяснить малость масс наблюдаемых нейтрино, оказывающихся по порядку величины равными $m_\nu \sim m_l^2/M_N$, где m_l – массы заряженных лептонов (e, μ, τ), а M_N – массы правых нейтрино. Соответствующий механизм получил название механизма качелей (see-saw).

Конечно нельзя исключить, что выход за рамки Стандартной Модели будет осуществлен по сценарию, отличному от обсуждавшихся в этой лекции. Быть может, по такому, о котором сегодня никто и не подозревает.

Я благодарен организаторам Школы за приглашение прочитать лекции и Е.А. Ильиной за помощь в оформлении рукописи.